



**TECHNICKÁ UNIVERZITA V LIBERCI**

Hálkova 6, 461 17 Liberec 1, CZ



Výzkumné centrum - Textil

**TECHNICKÁ ZPRÁVA**

**č. ISRN TUL – VCT/C – MŘTP/TZ - - 03/001/CZ**

**Sborník technických zpráv**

**Sekce C**

**Zlepšení parametrů mykacího stroje**

**Sekce C - skupina "Mechatronické systémy"**

*Ministerstvo školství, mládeže a tělovýchovy*  
Nositel: Technická univerzita Liberec  
Řešitel: Doc. Ing. Aleš Richter, CSc  
Název projektu: Výzkumné centrum „TEXTIL“

Identifikační kód projektu: **LN 00B090**

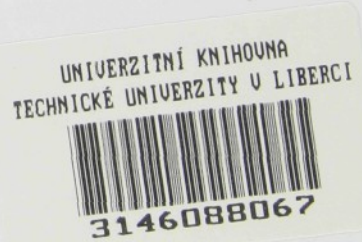
**TECHNICKÁ UNIVERZITA V LIBERCI**  
Hálkova 6, 461 17 Liberec 1, CZ

**VÝZKUMNÝ ÚSTAV TEXTILNÍCH STROJŮ**  
**LIBEREC a.s.**  
U Jezu 4, 461 19 Liberec 4, CZ

**TECHNICKÁ ZPRÁVA**  
**č. ISRN TUL – VCT/C – MŘTP/TZ - - 03/001/CZ**

**Sborník technických zpráv**  
**Sekce C**

**Zlepšení parametrů mykacího stroje**



*TECHNICKÁ UNIVERZITA V LIBERCI  
Univerzitní knihovna  
Voroněžská 1329, Liberec 1  
PSČ 461 17*

Liberec, prosinec 2003

*TZ 3*

**Projekt: ZLEPŠENÍ PRODUKCE MYKACÍHO STROJE**

Projekt je řešen v sekci C.

Zpráva obsahuje informace o řešení dílčích úkolů :

Návrh měřící elektroniky mykacího stroje

Snímač délkové hmotnosti pramene

Zvýšení kvality pramene na mykacím stroji

Návrh průtažného ústrojí

Optické snímání plošné hustoty rouna na mykacím stroji

Zprávu předkládá vedoucí projektu Ing. R. Šrámek ( VÚTS ) – 26.11.2003

# Návrh měřící a řídící elektroniky mykacího stroje

Zprávu předkládá Ing. Tomášek, p. Had

1. Návrh měřícího, výpočetního a řídícího řetězce
2. Pohony
3. Současné snímače a vyhodnocení měrených signálů
4. Závěr

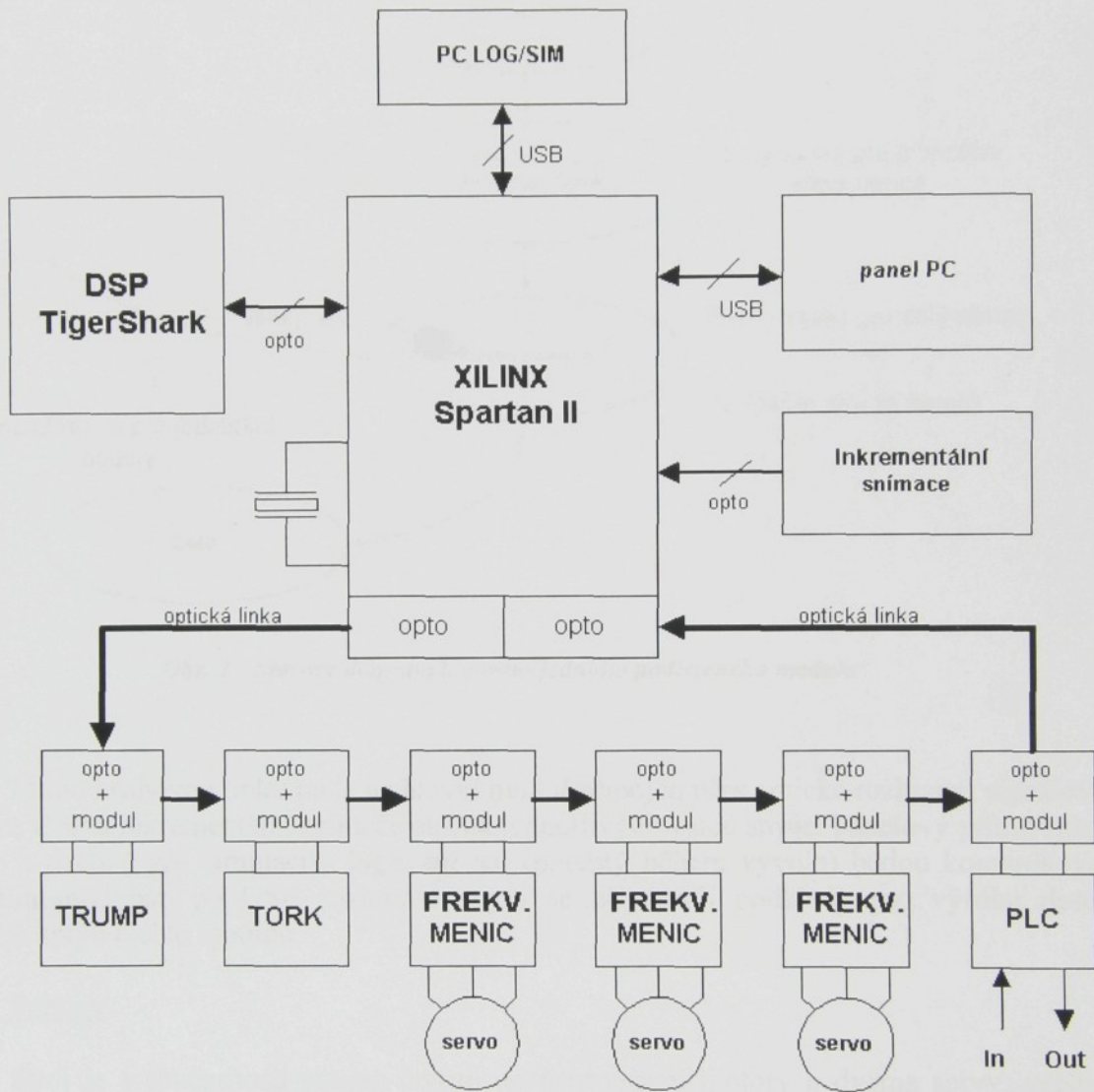
Práce je věnovaná návrhu řešení elektronického zařízení mykacího stroje. V první části dokumentu je popsán měřící, výpočetní a řídící blok elektronického zařízení stroje. Část druhá se zabývá silnoproudým vybavením stroje jako jsou pohony a jejich řídící jednotky. Poslední třetí odstavec popisuje současné snímače použité na stroji.

## 1. Návrh měřícího, výpočetního a řídícího řetězce

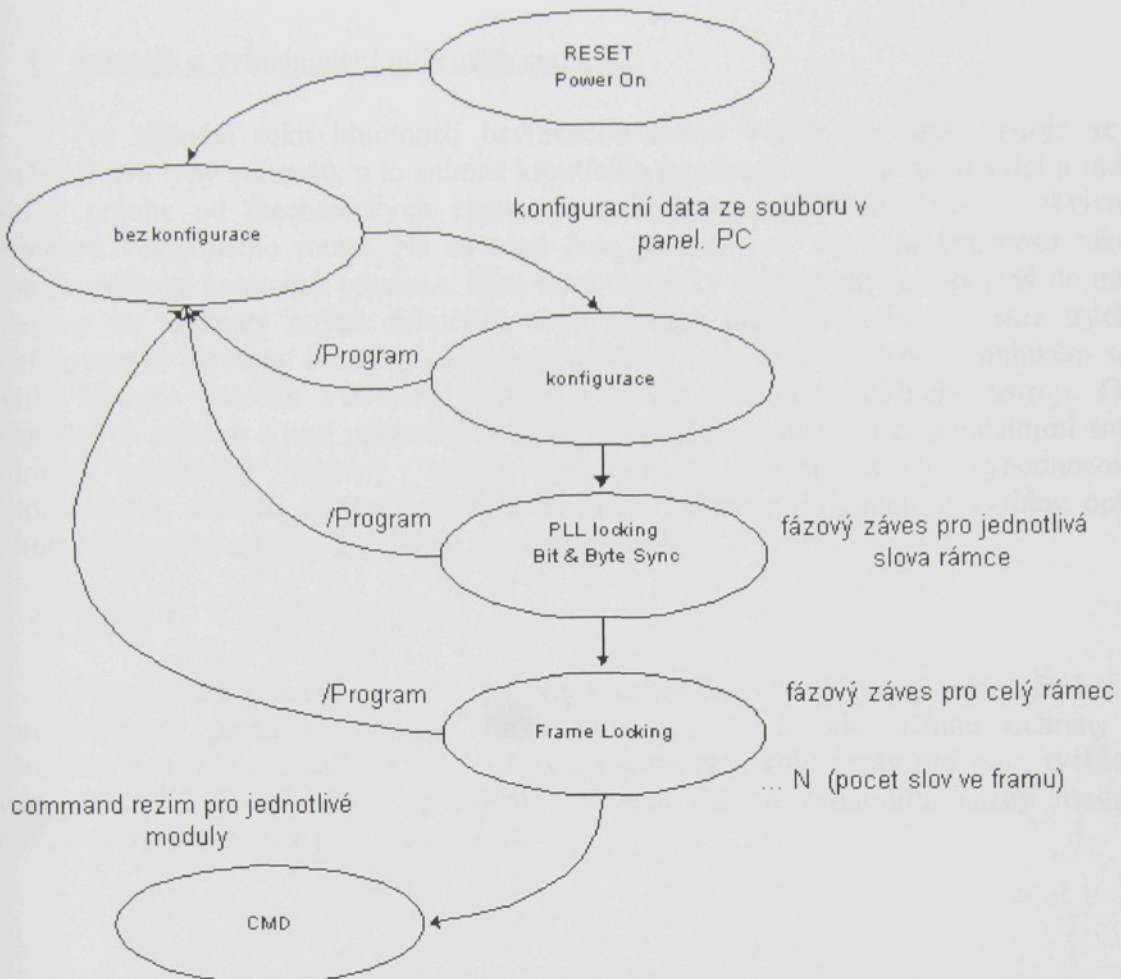
Jednotlivé funkční bloky elektronického zařízení pro měření, výpočty a řízení jsou zobrazeny pomocí blokového schématu na

*Obr. 1.* Vstupními signály jsou měřené signály ze snímačů toku hmotnosti bavlněného rouna v čase na vstupu stroje a délková hmotnost pramene na výstupu stroje a signály z inkrementálních čidel, výstupními signály jsou řídící signály pro ovládání servomotorů a asynchronních motorů buď přímo stykači nebo pomocí měničů. Dalšími signály jsou vstupní a výstupní digitální řídící, poruchové a bezpečnostní signály PLC části stroje. Všechny tyto signály jsou zpracovány ve svých elektronických modulech, údaje jsou uspořádány do komunikačního protokolu a pomocí optických portů vyslány po optické kruhové lince do centrální jednotky (hradlové pole Xilinx), která tento soubor dat zpracovává a řídí komunikaci na této lince. Hodnoty, které mají být dále numericky zpracovány a digitálně filtrovány jsou odesány do signálového procesoru, signály z PLC obvodu se vyhodnotí. Pakety jsou synchronizovány a vysílány vždy jedním směrem. Délka je vždy stejná, závislá jen na počtu připojených zařízení v kruhu. Časování každého zařízení v kruhu se provádí pomocí synchronizačních pulzů v paketu a fázových závěsů v jednotlivých modulech. Každé zařízení má v protokolu své místo pro přijímaná nebo vysílaná data a svou délku. Jednotlivá zařízení si tak přečtou jen informace určené pro sebe a v tomtéž paketu mohou odpovědět. Na *Obr. 2* je zjednodušený stavový diagram programování hradlového pole Xilinx jednoho podřízeného modulu po optické lince. Po restartu systému se z panelového PC po USB lince naprogramuje Xilinx hlavní modulu, který řídí veškerou komunikaci v systému. Ten následně vysílá po kruhové optické lince k prvnímu podřízenému modulu konfigurační data pro naprogramování Xilinxu uvnitř modulu. Po konfiguraci hradlového pole modulu začíná hlavní modul vysílat prázdné rámce pro synchronizaci komunikace. Po uzamčení fázového závěsu jednotlivých slov rámce se vysílají kompletní rámce bez dat až dojde k zasynchronizování jednotlivých paketů. Poté se vysílají do modulu data pro naprogramování případných jednočipových

procesorů. Jakmile je modul nakonfigurovaný, přejde se k modulu následujícímu, kde vše probíhá opět podle stavového diagramu. Tak jsou postupně nakonfigurovány všechny moduly na optickém kruhu. Data jsou zabezpečena cyklickým polynomem. Jak je z tohoto popisu patrné, každý podřízený modul se skládá vždy z hardwaru obsluhující optickou linku s hradlovým polem Xilinx, zdrojem s přídavnými obvody pro transformaci napájení z 24V střídavých přivedených do každého modulu a dalších obvodů, které jsou různé od použití modulu. Ve většině případů bude modul vybaven mikroprocesorem ADuC 812 firmy Analog Devices.



Obr. 1 Blokové schéma měřicího a řídícího řetězce



Obr. 2 Stavový diagram logování jednoho podřízeného modulu

Mimo kruhovou linku bude na hlavní modul připojen přes optické rozhranní signálový procesor DSP a inkrementální snímače otáček jednotlivých válců stroje. Panelový průmyslový počítač a počítač pro simulaci a logování dat (použitý během vývoje) budou komunikovat s hlavním modulem po USB rozhranní. Nyní se připravují podklady pro výrobu desek plošných spojů těchto modulů.

## 2. Pohony

Stroj je v současnosti osazen čtyřmi asynchronními motory a dvěma servy, většina z as. motorů má nastavitelné otáčky pomocí frekvenčních měničů Lenze. Pohony průtažného ústrojí jsou stěžejní, především je kladen důraz na rovnoměrnost otáček a výkon 1. a 2. válečku průtahu (výkonný as. motor se setrvačníkem) a dynamiku a rovnoměrnost chodu (i v průběhu jedné otáčky) třetího válečku (stř. servomotor a měnič Siemens s chybou  $\pm 1$  otáčka v průběhu jedné otáčky). Tyto pohony se zdají být optimální variantou pro realizaci stroje.

### 3. Snímače a vyhodnocení měřených signálů

Pro snímání toku hmotnosti bavlněného rouna v čase na vstupu stroje se nyní používají dva typy snímačů, a to snímač kroutícího momentu na podávacím válci a indukční snímač polohy od mechanických elementů, snímajících přítlačem tloušťku ekvivalentní hmotnosti vstupujícího rouna. Na výstupu jsou použity pro srovnání vlastností také dva snímače délkové hmotnosti pramene. Je to tenzometrický snímač ohybu zapojený do můstku, nalepený na vetknutý nosník a měřící ohyb nosníku průchodem bavlny skrz trychtýrek s definovaným otvorem. Druhým snímačem délkové hmotnosti pramene je indukční snímač zdvihu horního válečku z dvojice prvních a třetích válečků průtažného ústrojí. Otáčky jednotlivých pohonů a jimi naháněných válců stroje jsou snímány inkrementálními snímači. Snímané elektrické veličiny budou zpracovány pomocí svých vyhodnocovacích elektronických modulů, komunikačním hardwarem zařazeny do paketu a vyslány optickou linkou do hlavního modulu k dalšímu zpracování.

### 4. Závěr

Navrhované zařízení by mělo splňovat všechny požadavky pro správnou funkci stroje v průmyslovém prostředí. Optická linka je použita z důvodu účinné ochrany vůči průmyslovému rušení, hradlová pole Xilinx a vlastní protokoly zpráv pro svou rychlosť, se kterou dokáží komunikovat a zpracovávat vstupní data a variabilitu, každý modul lze kdykoliv po optické lince přeprogramovat.

## **2.Snímač délkové hmotnosti pramene**

(řešitelé : Ing. Škop, Csc., Ing. Klouček, Ing. Čejka)

Pro snímač TRM-VÚTS 3 s průměry zhušťovačů 5,5 mm a 6,5 mm byly stanoveny kalibrační křivky (převod odporová síla – délková hmotnost pramene) přímo pro materiál vystupující z mykačky při pomaloběžném režimu. Pro oba průměry zhušťovačů byla provedena měření v plném rozsahu využitelnosti daného průměru zhušťovače. Naměřené body spolu s proloženou křivkou jsou zobrazeny v grafech v příloze. U zhušťovače průměru 5,5 mm je v grafu zobrazena také křivka určená měřením s mykanými prameny získanými ze stroje Trützschler DK-903 ve firmě Hybler Semily (oranžová křivka). Z rozdílnosti obou křivek je patrné, že tvar kalibrační křivky je výrazně závislý na způsobu zpracování pramene (procento háčků, míra paralelizace vláken apod.).

Pro regulaci mykačky je nutný také údaj o hmotnosti pramene na výstupu stroje, tj. za průtažným ústrojím. Řešit toto měření druhým snímačem TRM-VÚTS3 se zhušťovačem by bylo technologicky velice obtížně realizovatelné. Za snímačem by musel být instalován ještě čtvrtý pár odtahových válečků a vznikal by i velký problém se zaváděním pramene do průtahu. Bylo tedy přistoupeno k realizaci myšlenky měřit výšku drážky páru odtahových válečků. U dané konstrukce průtažného ústrojí lze předpokládat, že spodní odtahový váleček je dostatečně tuhý a má tuhé uložení, takže lze jeho pohyb ve svislé ose považovat za zanedbatelný. Pro měření výšky drážky pak postačuje měřit zdvih horního odpruženého válečku. První pokusy byly prováděny dotykovým indukčnostním snímačem zdvihu se safirovým hrotom a odpruženým jádrem. Snímač se dotýkal válečku ve středu drážky pro pramen. Výsledky při porovnání se signálem získaným ze snímače TRM-VÚTS3 naznačily možnou využitelnost principu. Bylo tedy přistoupeno k realizaci funkčního modelu, kdy byly zvoleny indukčnostní snímače zdvihu s volným jádrem, které bylo pevně spojeno s kolíkem tvořícím přítlač ložiska horního odtahového válečku. Snímače byly uchyceny do šroubů přítlaku pro měření zdvihu prvního a třetího válečku průtažného ústrojí. Pro oba snímače byly určeny kalibrační křivky, které jsou zobrazeny v grafech v příloze. Měření snímači zdvihu bylo ověřováno zatím pro pomaloběžný režim stroje a dosahovalo dobré shody s linearizovaným signálem ze snímače TRM-VÚTS3. Kvalita měření je však silně závislá na technickém provedení přítlaku průtahu, kolíky přítlaku musí mít zajištěno dobré vedení bez možnosti přičení, bez vůlí a s malou třecí silou ve vedení. Výhodou měření zdvihu válečků oproti měření snímačem TRM-VÚTS3 je zejména široký rozsah měření postihující celou šíři produkce stroje bez nutnosti přestavení snímače a téměř lineární závislost mezi zdvihem válečku a délkovou hmotností pramene. Snímač je také umístěn mimo vlastní dráhu pramene, takže nekomplikuje zavádění materiálu do průtažného ústrojí a neovlivňuje pramen přímým stykem. Při zabudování do bloku průtahu je více chráněn před poškozením při nešetrné obsluze stroje oproti snímači odporových sil se zhušťovačem. Podmínkou dobré funkce je dokonalý technický stav mechanických částí průtahu.

Výsledné kalibrační křivky pro snímače zdvihu i snímač TRM-VÚTS3 byly ověřeny proměřením shodných vzorků pramene pomocí měřicí aparatury Uster Tester 4SX na TU Liberec. V příloze jsou uvedeny grafy porovnání signálů ze snímačů TRM-VÚTS3 a zdvihu 1.válečku přepočtené na hodnoty délkové hmotnosti v ktex a signálu z přístroje Uster Tester měřeného v procentech odchylky od střední hodnoty. Signály měřené na průtažném ústrojí byly přepočteny z časové závislosti na délkovou. Na dalším grafu je porovnání délkové hmotnosti pramene měřené snímačem zdvihu na 3.válečku a signálu z přístroje Uster Tester

přepočteného na hmotnost pramene pomocí střední hodnoty hmotnosti pramene daného úseku. Zobrazeny jsou celý úsek proměřený přístrojem Uster Tester a detail zachycující i rychlé změny signálu. Z uvedených grafů je patrné, že snímače TRM-VÚTS3 i snímače zdvihu měří ve shodě s přístrojem Uster Tester 4SX, který je považován za světový standard pro hodnocení kvality pramenů.

Byly navrženy a testovány tři provedení zhušťovačů :

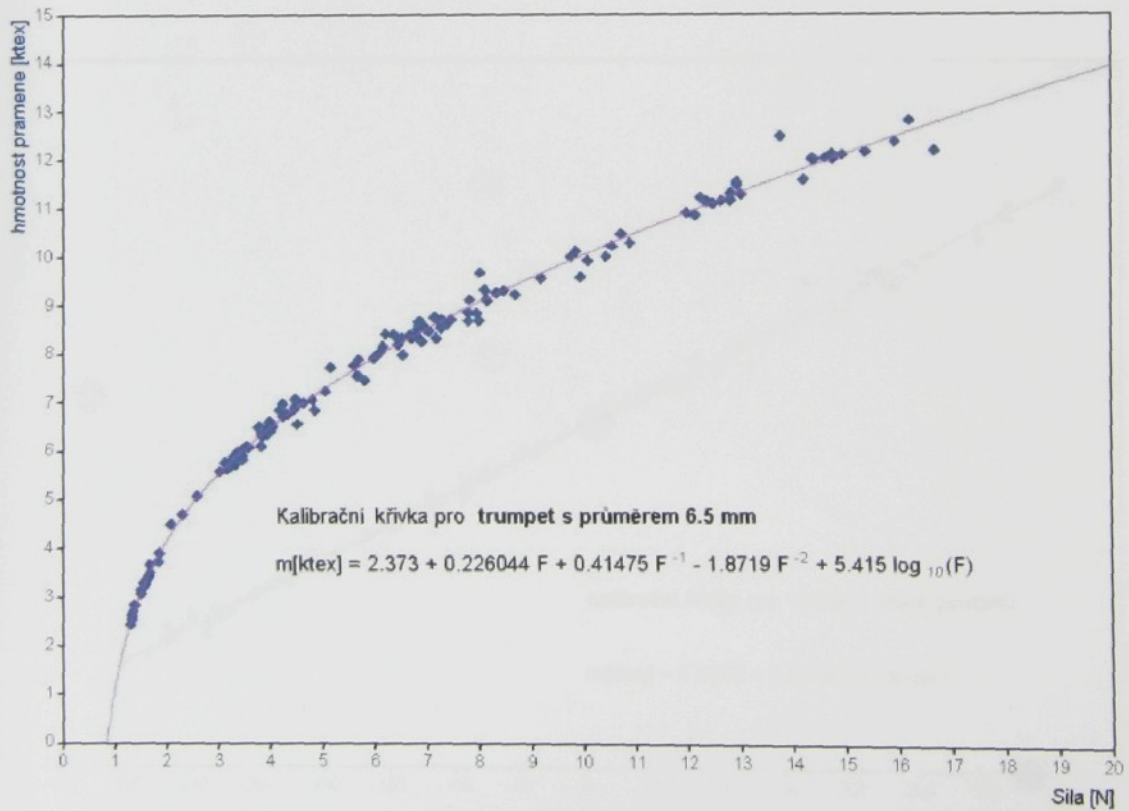
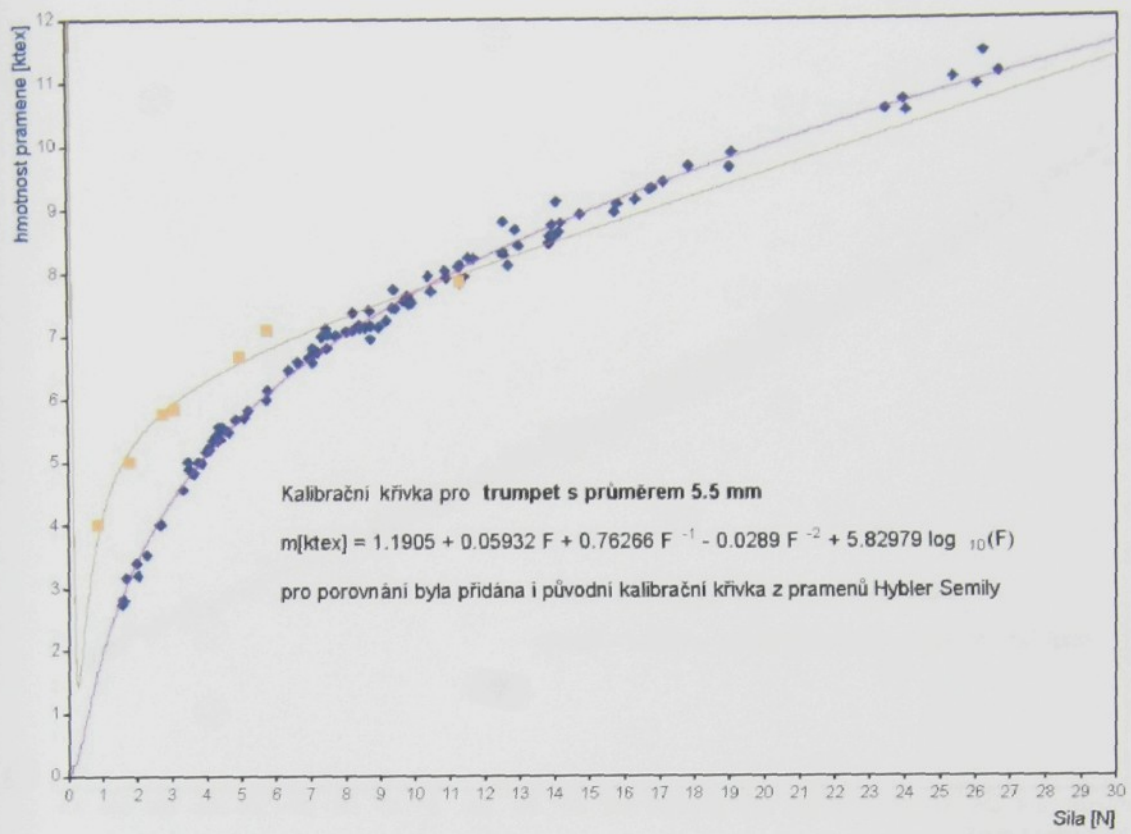
- z hliníkové slitiny, tloušťka stěny 2,7mm – váha 7,2g
- ocelový kalený, tloušťka stěny 0,7mm – váha 7,01g
- ocelový s hliníkovým nákružkem – váha 6,3g

Dále byl posuzován vliv drsnosti povrchu uvnitř zhušťovače. Byl zkoušen povrch leštěný a neleštěný. V příloze je z grafu zřejmé, že druh materiálu nemá vliv na naměřené hodnoty síly.

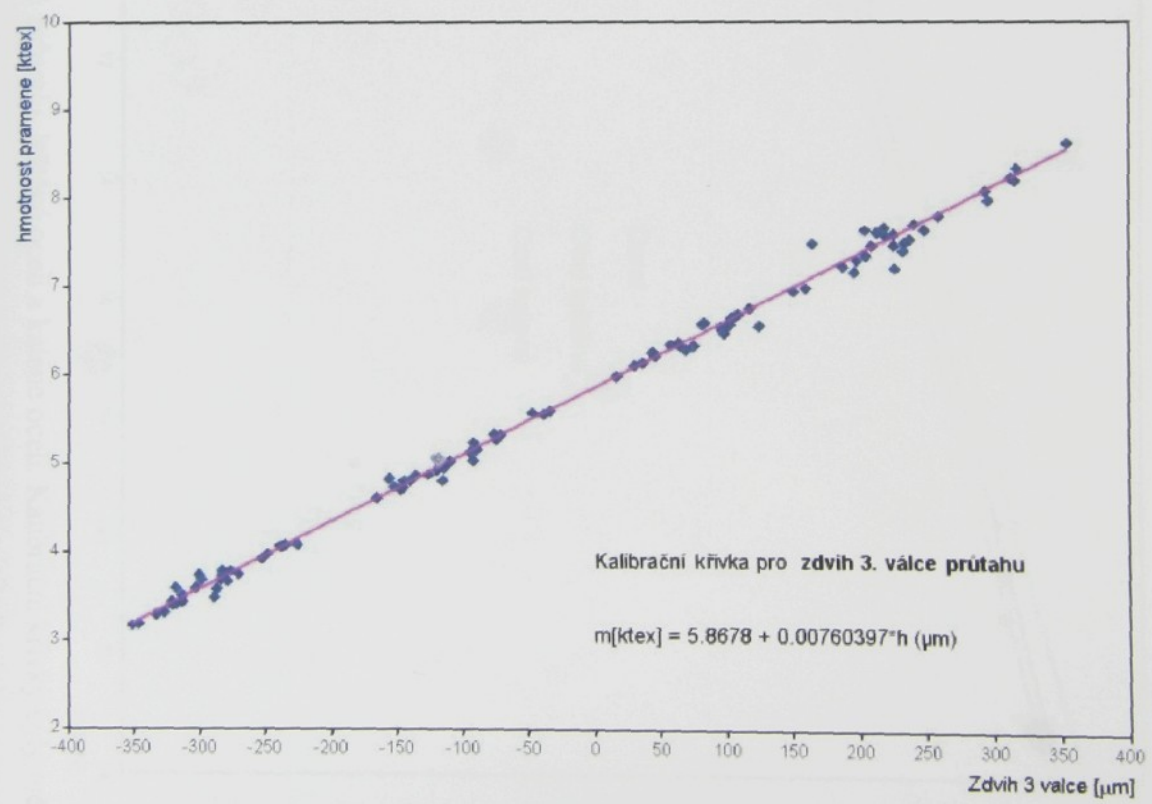
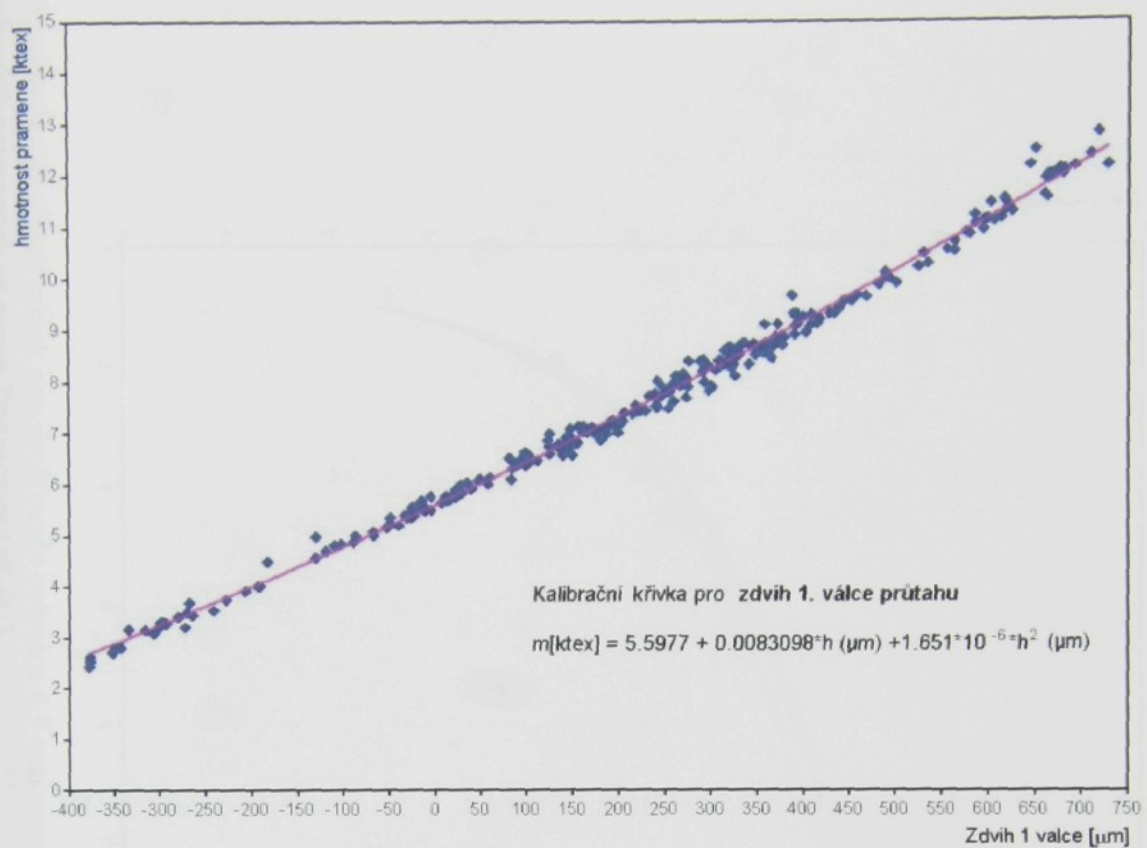
Byly prověřovány možnosti vsadit do zhušťovače vytvrzené vložky. Realizace není vhodná, protože rozměry nevyhovují konstrukčnímu záměru.

Z provedených měření jsme udělal tyto závěry :

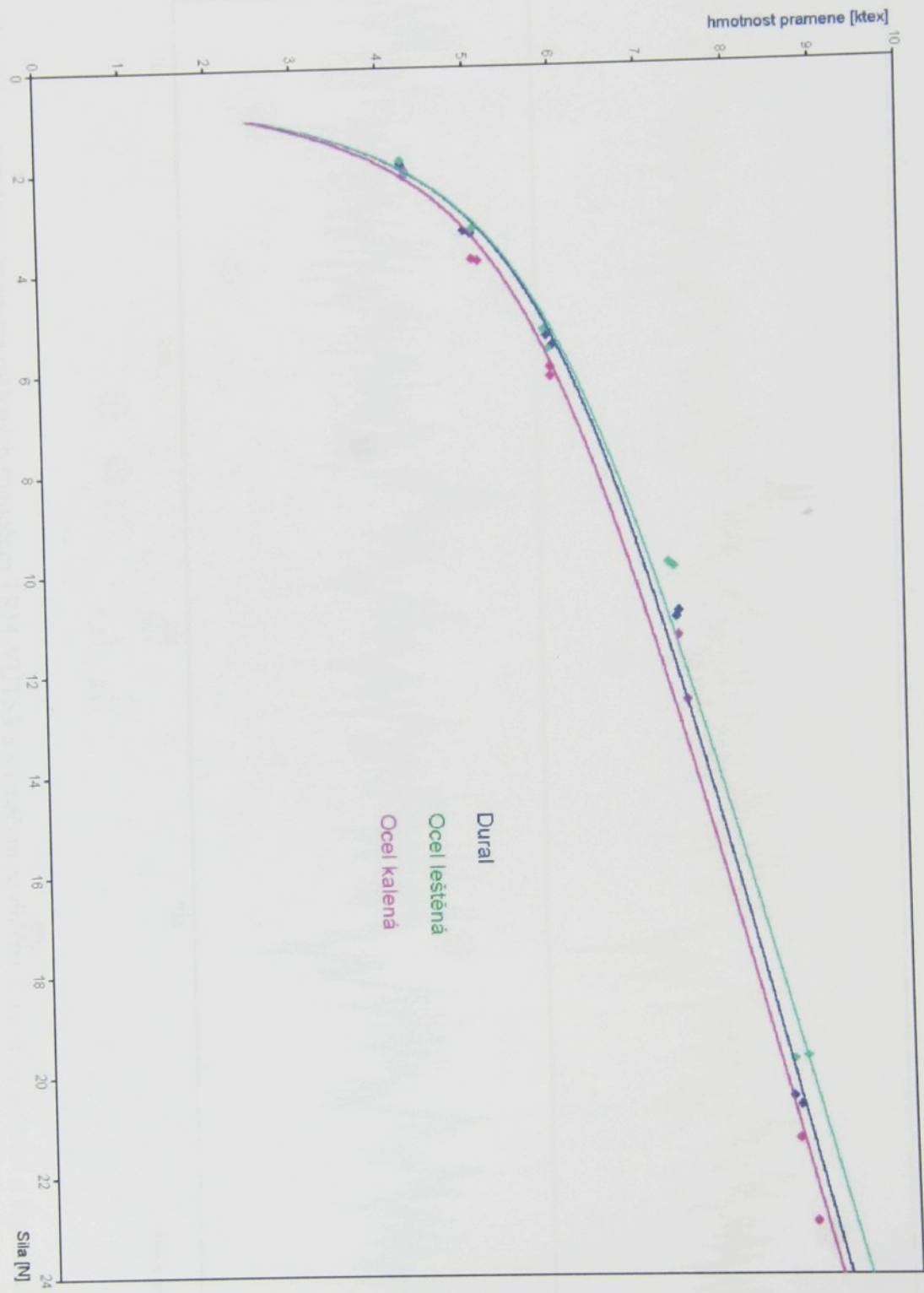
- 1) Pro zajištění dlouhodobé stability doporučujeme kalený ocelový zhušťovač.
- 2) Správné uložení zhušťovače v měrném trámci je nákružkem u příruby. Aby hmota celého snímače byla co nejmenší, bude nákružek z hliníkové slitiny. Tolerance průměru h8.
- 3) Před kalením bude vnitřní povrch leštěn na  $Ra=0,2\mu m$ . Na výkresu v příloze je optimální provedení zhušťovače do trampitmeteru.



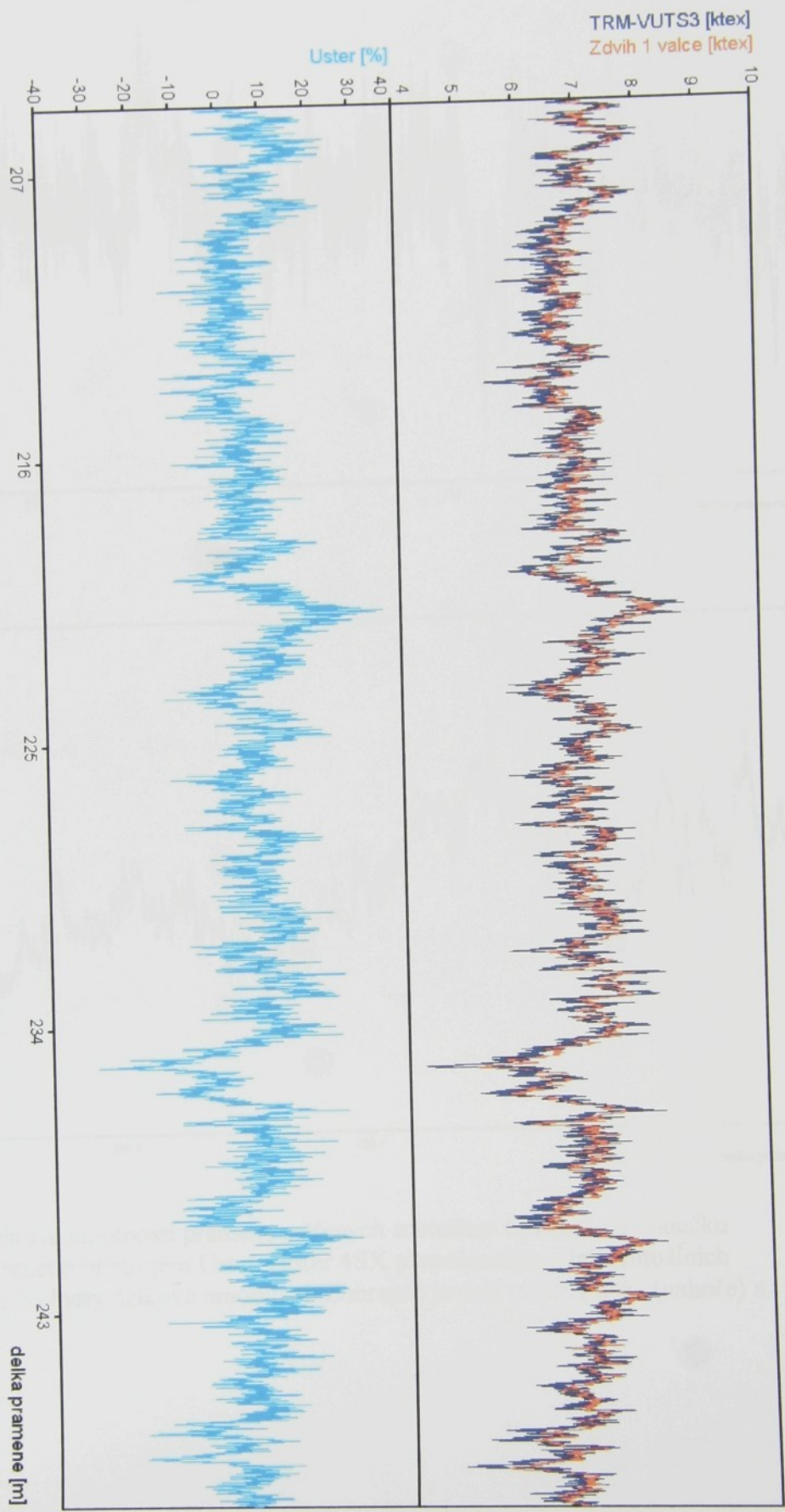
Kalibrační křivky pro snímač TRM-VÚTS3 se zhušťovači průměrů 5,5 mm a 6,5 mm.



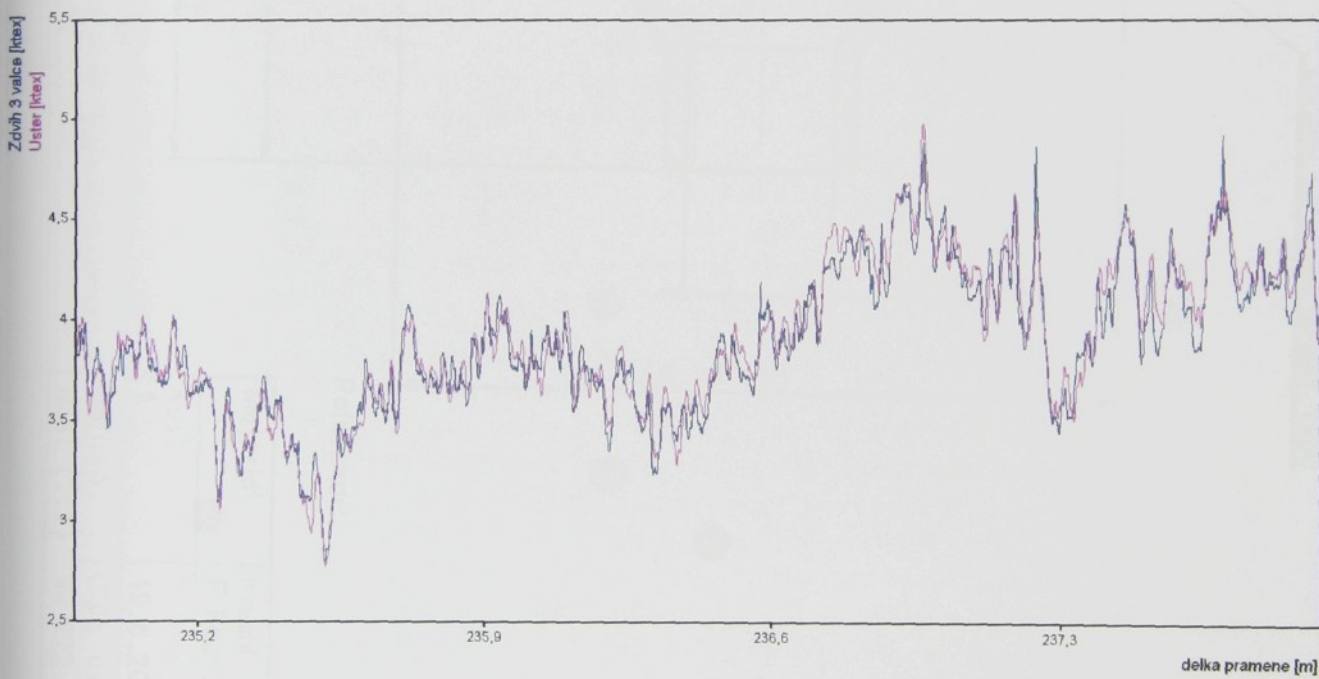
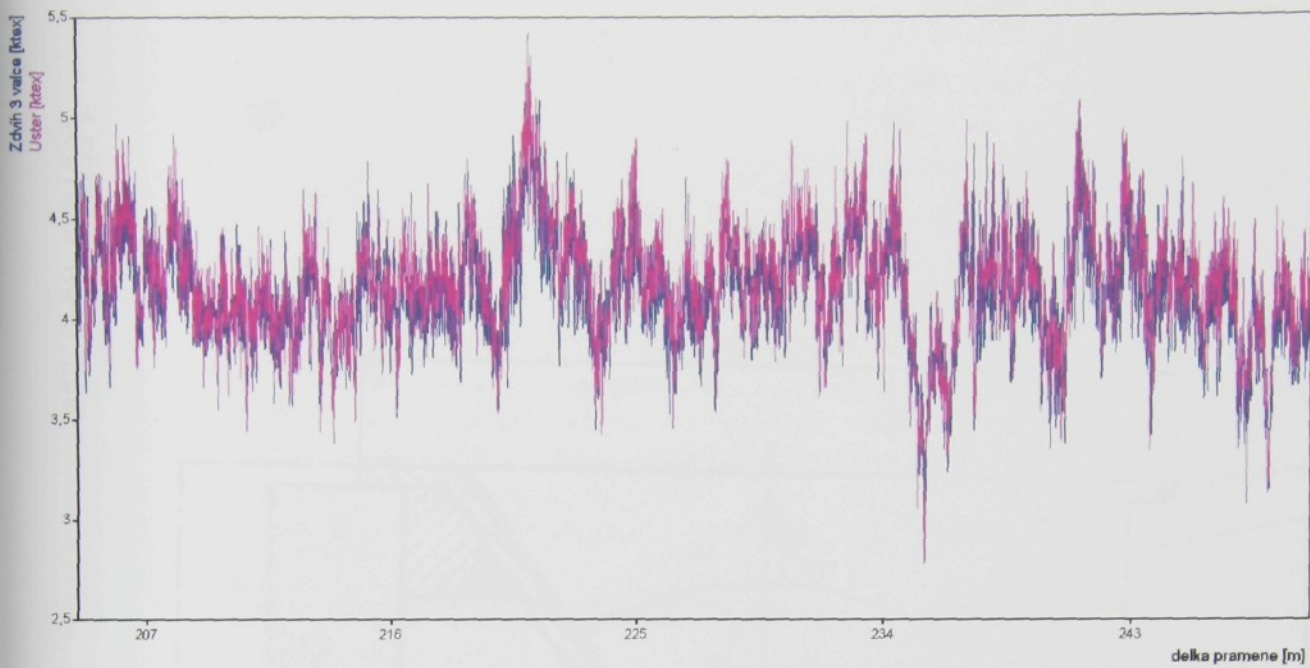
Kalibrační křivky pro snímače zdvihu prvního a třetího páru průtažných válečků.



Porovnání kalibračních křivek pro zhušťovače průměru 4,9 mm vyrobené z duralu, leštěné oceli a kalené oceli. Kalibrační křivky byly měřeny na mykaných pramech ze stroje Tritzscher DK-903.



Porovnání signálů délkové hmotnosti pramene měřených snímačem TRM-VÚTS3 a snímačem zdvihu na 1. válečku průtahu a signálu měřeného přístrojem Uster Tester 4SX.



Porovnání signálů délkové hmotnosti pramene měřených snímačem zdvihu na 3. válečku průtahu a signálu měřeného přístrojem Uster Tester 4SX přepočteného z procentuálních odchylek na skutečné hodnoty délkové hmotnosti. Zobrazen je celý měřený úsek (nahoře) a detail (dole).

CT02-230 CT02-231

LEPENO LEPIDLEM EPOXY 1200

$3,2/\sqrt{(0,2)}$

( $\varnothing$  27)

(70°)

(0,7)

( $\varnothing$  4,9 H10)

( $\varnothing$  24 h8)

M 1:1



Poločová:

(14,5)  
(15,2)

| Materiál              | Kreslil<br><b>F.Founě</b> | Poznámka<br><b>PRŮTAH MYKACÍHO STROJE</b>    |
|-----------------------|---------------------------|--|
| Kusů<br>1             | Datum<br>19.6.2003        | Název<br>ZHUŠTOVÁČ SLOŽENÝ $\varnothing$ 4,9 |
| Měřítko<br>NENÍ (1:1) | Číslo úkolu<br>99 222     | Číslo náčrtku<br>CT02-229                    |

1. — LEŠTĚNO Ra=0,2μm

# **Projekt: „Zvýšení kvality pramene na mykacím stroji“**

**výzkumná zpráva o řešení projektu v roce 2003**  
**listopad 2003**

**Jaroslav HLAVA, Bedřich JANEČEK, Josef JANEČEK**  
*TU Liberec, Fakulta mechatroniky, Katedra řídicí techniky*

## **Úvod**

Práce plánované v rámci širšího projektu „Zvýšení produkce mykacího stroje“ na rok 2003 se měly soustředit v první řadě na problematiku modelování a regulace procesu průtahu. Vycházeje z prvních pokusů učiněných již v předchozím roce, měl být vytvořen spolehlivý matematický model a navržena regulace ústrojí. V návaznosti na to a na stavbu pracoviště umožňujícího pokusy s celým mykacím strojem pak mělo být přikročeno k identifikaci mykacího stroje jako řízeného systému.

## **Matematický model procesu průtahu**

Porozumění dějům probíhajícím při protahování textilního pramene a vytvoření takového matematického modelu tohoto procesu, který by byl přijatelně přesný a zároveň byl v takovém tvaru, aby jej bylo možné použít jako základ pro návrh řídicího systému, představuje problém, kterému je věnována pozornost již po několik desetiletí. Poměrně mnoho bylo publikováno o nejrůznějších aspektech dějů, které při protahování pramene probíhají (zde lze odkázat zejména na vynikající monografii Grosberg & Iype, 1999) a stejně tak existuje řada textů, které se zabývají přímo modelováním tohoto procesu (viz např. Djiev, 1994; Novák, 1995 a odkazy v nich uvedené). Téma přenosová funkce procesu průtahu je dokonce i běžnou součástí standardních úvodních učebnic zabývajících se textilními technologiemi (viz např. Ursíny, 1992). Přesto však je nutné konstatovat, že problém vytvoření modelu procesu průtahu dosud vyřešen nebyl a všechny publikované práce mají několik zcela zásadních nedostatků, které je činí v podstatě nepoužitelnými.

Pozornost v nich je věnována téměř výlučně pouze přenosové funkci mezi jemnostmi vstupního a výstupního pramene. Vztah mezi oběma jemnostmi je totiž lineární a jeho modelování je proto relativně snazší. Pro účely návrhu řízení je však nezbytné znát i vztah mezi rychlosí posledního válečku a jemností výstupního pramene. Tento vztah je ovšem nelineární a jeho odvození je tak obtížnější. Jakýsi velmi útržkovitý a v konečné instanci zcela nepoužitelný pokus jej odvodit obsahuje pouze (Djiev, 1994). Navíc v téměř žádné z publikovaných prací nebyl učiněn pokus simulovat odezvy vytvořeného modelu v časové oblasti a srovnat je s odezvami skutečného procesu. Jedinou výjimkou je (Novák, 1995), který však nedospěl za konstatování, že srovnání nelze provést, jelikož přenosová funkce mezi jemnostmi vstupního a výstupního pramene je nestabilní. Nebyl již schopen a ani se nepokusil vysvětlit příčinu této instability, která samozřejmě poukazuje na nějakou chybu modelu, neboť proces průtahu jako takový je stabilní. Pokud by se autoři ostatních publikovaných prací o simulaci vůbec pokusili, dospěli by k obdobným závěrům, neboť jimi navržené přenosové funkce byly obdobné.

Z těchto důvodů nebylo možné převzít hotový model z literatury a věnovat se pouze návrhu řízení, ale bylo nutné nejprve vytvořit vlastní model, který by zahrnul i vliv proměnné rychlosti posledního válečku a samozřejmě byl stabilní. V předchozím roce byl navržen nelineární model s distribuovanými zpožděními a byla nalezena příčina instability dosud navržených přenosových funkcí (viz Hlava, 2002). V tomto roce výzkum pokračoval.

## Nelineární spojitý model

Matematický model procesu průtahu je nelineární. V průběhu běžného provozu však veličiny kolísají v relativně nevelkém okolí (cca  $\pm 20\%$ ) nominálních pracovních hodnot. Nejpřirozenějším přístupem k návrhu modelu určeného pro návrh řízení je proto linearizace modelu a převedení linearizovaného modelu do tvaru přenosových funkcí popisujících vliv jemnosti vstupního pramene a změn rychlosti posledního válečku na jemnost výstupního pramene.

Měřitelnými veličinami na průtahovém ústrojí je jemnost vstupního a výstupního pramene. Tyto veličiny nelze ovšem bezprostředně uvést do vztahu. Vzhledem ke struktuře pramene je základní veličinou charakterizující pramen hustota předních konců vláken (HPKV) v příslušném bodě a čase. Vztah mezi HPKV a jemností pramene závisí na rozložení délek vláken a jejich orientaci vzhledem k ose pramene včetně eventuálních zahnutí vláken. Tyto veličiny nejsou časově neproměnné a zároveň není možné je v reálném čase průběžně měřit. Jakýkoliv model proto bude v principu mít pravděpodobnostní povahu a bude udávat vztah mezi středními hodnotami s tím, že mezi jeho výstupem a skutečnými hodnotami může existovat určitá proměnná odchylka mající povahu náhodného šumu.

Při odvozování vztahu mezi HPKV a jemností pramene na vstupu ústrojí je rozumné předpokládat, že vlákna jsou rovnoběžná s osou pramene. Tento předpoklad je přijímán zcela obecně v literatuře, která se zabývá modelováním procesu průtahu pomocí diferenciálních rovnic či přenosů. Paralelizace vláken v prameni sice není taková, aby tento předpoklad byl zcela splněn, odchylky se však v konečné instanci projeví pouze tak, že vlákna se jeví o něco kratší než ve skutečnosti, neboť pro model je podstatný pouze průměr vlákna do směru rovnoběžného s osou vlákna.

Jelikož rychlosť prvního válečku je konstantní lze za tohoto předpokladu vyjádřit vztah mezi HPKV a jemností pramene na vstupu výrazem

$$d_1(t) = a\rho \int_0^{l_{\max}} n_1(t - \frac{l}{v_1}) f_c(l) dl \quad (1)$$

kde  $a$  označuje průřez jednotlivého vlákna,  $\rho$  objemovou hustotu materiálu vláken,  $v_1$  rychlosť vlákna na vstupu ústrojí,  $n_1(t)$  HPKV na vstupu ústrojí a  $f_c(l)$  je komplementární distribuční funkce rozložení délek vláken (staplový diagram).

$$f_c(l) = 1 - \int_0^l f(l) dl \quad (2)$$

Tato funkce udává pravděpodobnost, že vlákno přispívá k jemnosti pramene v místě, které leží ve vzdálenosti  $l$  od předního konce vlákna. Vztah (1) je pak v podstatě jen matematická formulace zřejmého faktu, že množství vláken na průřezu v místě svěru prvního válečku (či obecně v libovolném jiném místě) je dáno součtem všech těch vláken, jejichž počátky daným místem prošly a které zároveň ještě nedospěly tak daleko, aby daným místem prošly i jejich konce. Ze systémově teoretického hlediska definuje vztah (1) systém s distribuovaným zpožděním, jehož jádrem je komplementární distribuční funkce délek vláken.

Na vstupu průtahového ústrojí se vlákna pohybují rychlosťí prvního válce  $v_1$ . Otázkou, na kterou dosud neexistuje zcela jednoznačná odpověď je určení místa, kde přechází na rychlosť dalšího válce. Důležitý je přitom zejména okamžik přechodu na rychlosť posledního válce, která je proměnná a slouží jako akční veličina. Přechody na rychlosť dalších válců, které jsou u dvou a více zónových ústrojí umístěny mezi vstupem a výstupem ovlivňují pouze celkové dopravní zpoždění, v případě posledního (regulovaného) válce však ovlivňují i

dynamiku vlivu akční veličiny i poruchy na výstupní jemnost. V navrhovaném modelu jsme zatím vycházeli především z výsledků publikovaných v (Novák, 1995), které naznačují, že k této změně rychlosti dochází až tehdy, když se přední konec vlákna dostane do svěru příslušného válečku nebo velmi těsně před tím. Této otázce nicméně budeme v dalším výzkumu ještě věnovat pozornost.

Dochází-li tedy ke změně rychlosti skokově až v místě svěru dalšího válečku, je možné vyjádřit vztah mezi HPKV na vstupu a na výstupu ústrojí výrazem

$$n_2(t) = \frac{1}{P(t)} n_1(t - \tau_d) \quad (3)$$

kde  $P$  označuje průtah

$$P(t) = \frac{v_2(t)}{v_1} \quad (4)$$

Symbol  $v_2$  označuje rychlosť regulovaného válečku (v konkrétním případě dvou-zónového ústrojí třetího) a  $\tau_d$  je čisté dopravní zpozdění mezi vstupem a výstupem. Jeho výpočet je závislý na umístění snímačů a uspořádání ústrojí.

Výraz pro jemnost výstupního pramene lze odvodit na základě úvahy, která je v principu analogická jako při odvozování vztahu (1). Problémem však je skutečnost, že rychlosť výstupního válečku není konstantní a dobu potřebnou k tomu, aby přední konec vlákna urazil vzdálenost  $l$  proto nelze vyjádřit jednoduchým podílem  $\tau(l) = l/v_1$ . Jediným možným vyjádřením je tak implicitní funkce definovaná integrálem

$$l = \int_{t-\tau(l,t)}^t v_2(\alpha) d\alpha \quad (5)$$

Výstupní jemnost je pak dána vztahem

$$d_2(t) = a\rho v_1 \int_0^{l_{\max}} \frac{n_1(t - \tau_d - \tau(l, t))}{v_2(t - \tau(l, t))} f_c(l) dl \quad (6)$$

Tento vztah je možné převést do tvaru, který bude pro některé další výpočty příznivější, zavedeme-li pomocnou proměnnou

$$x(t) = \int_0^t v_2(\alpha) d\alpha \quad (7)$$

Rovnice (5) pak přechází do tvaru

$$l = x(t) - x(t - \tau) \quad (8)$$

a výraz pro jemnost výstupního pramene lze upravit do následující podoby

$$d_2(t) = a\rho v_1 \int_0^{\infty} n_1(t - \tau_d - \tau) f_c(x(t) - x(t - \tau)) d\tau \quad (9)$$

Horní mez integrálu bylo možné položit rovnou nekonečnu, neboť  $f_c(l)$  je nulové pro  $x(t) - x(t - \tau) > l_{\max}$ . Akční veličina  $v_2$ , jejíž přítomnost v (9) není bezprostředně zřejmá, je stále přítomna prostřednictvím pomocné proměnné  $x$ .

## Linearizovaný model popsaný iracionálními přenosy

Systém definovaný uvedenými rovnicemi je zřetelně nelineární a analýza jeho vlastností je navíc komplikována přítomností distribuovaných zpoždění a implicitním tvarem rovnice (5). Jelikož hodnoty veličin se za provozu pohybují v relativně úzkém rozmezí v okolí jmenovitých hodnot, nabízí se linearizace a převod do přenosového tvaru jako první a nejpřirozenější cesta, jak dospět k modelu vhodnému jako základ návrhu řízení.

Jmenovitý pracovní bod lze definovat hodnotami  $d_{10}$ ,  $n_{10}$ ,  $d_{20}$ ,  $v_{20}$  a lineárně rostoucí funkcí  $x$ :  $x_0(t) = v_{20}t$ . Hodnoty  $d_{10}$  a  $v_{20}$  jsou dány,  $n_{10}$  a  $d_{20}$  lze snadno spočítat ze vztahů (1) a (9), v nichž je uvažováno konstantní  $v_2=v_{20}$ . Linearizovaný tvar rovnice (9) v okolí tohoto pracovního bodu pak lze popsát vztahem

$$\Delta d_2(t) = a\rho v_1 \int_0^{\frac{v_{20}}{l_{\max}}} \left\{ \Delta n_1(t - \tau_d - \tau) f_c(v_{20}\tau) + n_{10} \frac{df_c}{dl}(v_{20}\tau) \Delta x(t) - n_{10} \frac{df_c}{dl}(v_{20}\tau) \Delta x(t - \tau) \right\} d\tau \quad (10)$$

Tato rovnice je již lineární, nicméně stejně jako vstupní rovnice (1) obsahuje distribuovaná zpoždění, jejichž jádry jsou funkce  $f_c$  a  $\frac{df_c}{dl}$ . K tomu, abychom dostali použitelný model implementovatelný např. v Simulinku, je nutné je transformovat na soustředěná zpoždění. Jelikož v dostupné literatuře nebyl popsán dostatečně obecný transformační postup, bylo nutno vyvinout postup vlastní. Tento postup byl publikován v (Hlava, 2003d). Ve stručnosti lze jeho hlavní myšlenky popsát následujícími vztahy.

Distribuované zpoždění je možné obecně psát ve tvaru

$$y(t) = \int_0^T g(\tau) u(t - \tau) d\tau \quad (11)$$

kde  $u$  je vstup,  $y$  je výstup a  $g$  je nezáporná váhová funkce integrovatelná na intervalu  $\langle 0, T \rangle$  a nulová mimo tento interval. Tato funkce se také označuje jako jádro distribuovaného zpoždění. Provedeme-li Laplaceovu transformaci (11) dostaneme

$$Y(s) = \int_0^\infty \left\{ \int_0^T u(t - \tau) g(\tau) d\tau \right\} e^{-st} dt \quad (12)$$

Vzhledem k výše zmíněným vlastnostem jádra zpoždění je možné změnit horní mez integrace na nekonečno a zároveň přehodit pořadí integrace. Vztah (12) je tak transformován do tvaru

$$Y(s) = \int_0^\infty g(\tau) \int_0^\infty u(t - \tau) e^{-st} dt dt = \int_0^\infty g(\tau) U(s) e^{-s\tau} d\tau = U(s) \int_0^\infty g(\tau) e^{-s\tau} d\tau \quad (13)$$

Integrál zbývající v (13) představuje Laplaceovu transformaci  $g$

$$G(s) = \int_0^\infty g(\tau) e^{-s\tau} d\tau = \int_0^T g(\tau) e^{-s\tau} d\tau \quad (14)$$

a vztah (12) tak může být vyjádřen jako

$$Y(s) = G(s)U(s) \quad (15)$$

Z tohoto vztahu je zřejmé, že Laplaceovu transformaci jádra zpoždění je možné formálně interpretovat jako přenosovou funkci. Tato transformace může ovšem v obecném

případě mít velmi různý tvar. Naším cílem však je nalézt systém se soustředěnými zpožděními, který bude z hlediska vztahu vstup-výstup ekvivalentní s původním distribuovaným zpožděním. Je proto nejprve nutné charakterizovat třídu jader distribuovaných zpoždění, jejichž Laplaceova transformace má stejný tvar jako přenosová funkce retardovaného systému se soustředěnými zpožděními. Laplaceovu transformaci jádra zpoždění (14) lze převést do tvaru

$$\begin{aligned} G(s) &= \int_0^T g(\tau) e^{-s\tau} d\tau = \frac{1}{s} (g(0) - g(T)e^{-sT}) + \frac{1}{s} \int_0^T g'(\tau) e^{-s\tau} d\tau = \\ &= \frac{1}{s} (g(0) - g(T)e^{-sT}) + \frac{1}{s^2} (g'(0) - g'(T)e^{-sT}) + \frac{1}{s^2} \int_0^T g''(\tau) e^{-s\tau} d\tau = \\ &= \sum_{i=1}^q \frac{1}{s^i} (g^{(i-1)}(0) - g^{(i-1)}(T)e^{-sT}) + \frac{1}{s^q} \int_0^T g^{(q)}(\tau) e^{-s\tau} d\tau \end{aligned} \quad (16)$$

kde  $q$  je libovolné kladné celé číslo. Z těchto rovnic lze snadno odvodit, že pokud existuje libovolné konečné  $q$  takové, že  $q$ -tou derivaci  $g$  lze vyjádřit jako lineární kombinaci nižších derivací

$$g^{(q)}(t) = \sum_{i=0}^{q-1} c_i g^{(i)}(t), \quad (17)$$

rovnice (16) je možné převést do tvaru

$$\begin{aligned} \int_0^T g^{(q)}(\tau) e^{-s\tau} d\tau &= s^q G(s) - \sum_{i=1}^q s^{q-i} (g^{(i-1)}(0) - g^{(i-1)}(T)e^{-sT}) = \sum_{i=0}^{q-1} c_i \int_0^T g^{(i)}(\tau) e^{-s\tau} d\tau = \\ &= c_0 G(s) + \sum_{i=1}^{q-1} c_i \left( s^i G(s) - \sum_{j=1}^i s^{i-j} (g^{(j-1)}(0) - g^{(j-1)}(T)e^{-sT}) \right) \end{aligned} \quad (18)$$

a dále pak

$$\begin{aligned} s^q G(s) - \sum_{i=0}^{q-1} c_i s^i G(s) &= \sum_{i=1}^q s^{q-i} (g^{(i-1)}(0) - g^{(i-1)}(T)e^{-sT}) - \sum_{i=1}^{q-1} c_i \sum_{j=1}^i s^{i-j} (g^{(j-1)}(0) - g^{(j-1)}(T)e^{-sT}) = \\ &= \sum_{j=0}^{q-1} s^j \left\{ (g^{(q-j-1)}(0) - g^{(q-j-1)}(T)e^{-sT}) - \sum_{k=j+1}^{q-1} c_k (g^{(k-j-1)}(0) - g^{(k-j-1)}(T)e^{-sT}) \right\} \end{aligned} \quad (19)$$

Laplaceovu transformaci jádra zpoždění pak lze zřejmě vyjádřit ve tvaru

$$G(s) = \frac{\sum_{j=0}^{q-1} s^j \left\{ (g^{(q-j-1)}(0) - g^{(q-j-1)}(T)e^{-sT}) - \sum_{k=j+1}^{q-1} c_k (g^{(k-j-1)}(0) - g^{(k-j-1)}(T)e^{-sT}) \right\}}{s^q - \sum_{i=0}^{q-1} c_i s^i} \quad (20)$$

Podmínu (17) splňují dva typy funkcí. Zcela zřejmě je splněna, je-li  $g(t)$  polynomiální funkce. Pak vždy existuje konečné  $q$  takové, že  $q$ -tá derivace  $g(t)$  je identicky nulová. Pak je podmínka (17) splněna, přičemž všechny konstanty  $c_i$  jsou nulové a  $G(s)$  je ve tvaru

$$G(s) = \frac{\sum_{i=1}^q (g^{(i-1)}(0) - g^{(i-1)}(T)e^{-sT}) s^{q-i}}{s^q} \quad (21)$$

V obecnějším případě je pak tato podmínka splněna, je-li  $g(t)$  řešením homogenní diferenciální rovnice s konstantními koeficienty

$$g^{(q)}(t) - \sum_{i=0}^{q-1} c_i g^{(i)}(t) = 0 \quad (22)$$

Toto řešení je ve tvaru lineární kombinace funkcí

$$e^{\alpha t} \cos \beta t; \quad e^{\alpha t} \sin \beta t \quad (23)$$

Případně, pokud odpovídající charakteristická rovnice má vícenásobné kořeny, v řešení budou obsaženy i funkce tvaru

$$t^r e^{\alpha t} \cos \beta t; \quad t^r e^{\alpha t} \sin \beta t \quad (24)$$

Naznačený postup tak může být použit tehdy, když jádrem zpoždění je polynomiální funkce nebo lineární kombinace funkcí (23) a (24). (vlastně i polynomiální jádro může být chápáno jako zvláštní případ (24) s vícenásobným kořenem v nule).

V konkrétním případě distribuovaných zpoždění v rovnicích (1) a (10) je jádro zpoždění dáné komplementární distribuční funkcí délek vláken popř. její derivací. Tyto funkce jsou evidentně nenulové pouze v určitém konečném intervalu a již ve zprávě za rok 2002 bylo konstatováno, že v případě bavlny je lze příhodně approximovat pomocí polynomiálních funkcí. Relativně přesné approximace lze dosáhnout při použití Pearsonova rozdělení prvního druhu. V prvním přiblížení je možné použít i trojúhelníkový staplový diagram, tzn. rovnoměrné rozdělení délek rozsahu od nuly až do jistého maxima  $l_{\max}$ . Komplementární distribuční funkce je v tomto případě dána vztahy

$$\begin{aligned} f_c(l) &= 1 - l/l_{\max} \text{ for } l \leq l_{\max} \\ f_c(l) &= 0 \text{ for } l > l_{\max} \text{ or } l < 0 \end{aligned} \quad (25)$$

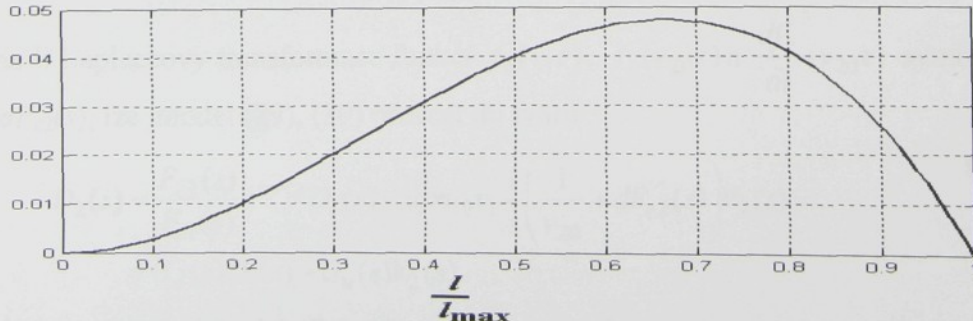
V případě Pearsonova rozdělení prvního druhu jsou hustota pravděpodobnosti a komplementární distribuční funkce dány vztahy

$$\begin{aligned} f(l) &= g_0 l^2 (l_{\max} - l) \quad \text{pro } 0 \leq l \leq l_{\max} \\ f(l) &= 0 \text{ jinde} \end{aligned} \quad (26)$$

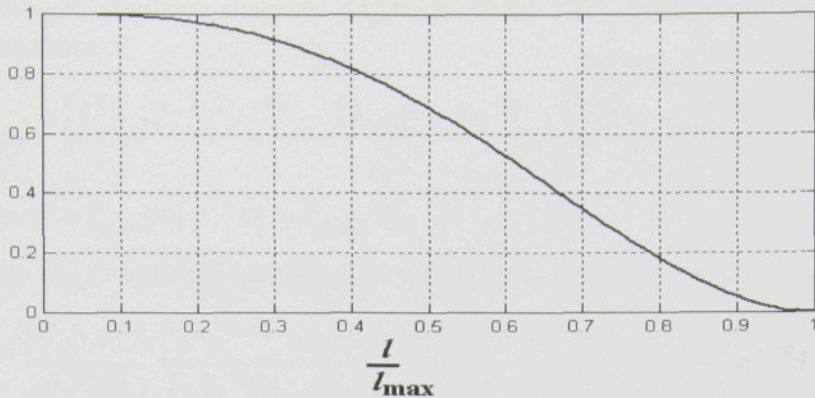
$$\int_0^{l_{\max}} f(l) dl = 1 \Rightarrow g_0 = 12/l_{\max}^4$$

$$\begin{aligned} f_c(l) &= 1 - g_0 l^3 \left( \frac{l_{\max}}{3} - \frac{l}{4} \right) \quad \text{pro } 0 \leq l \leq l_{\max} \\ f_c(l) &= 0 \text{ jinde} \end{aligned} \quad (27)$$

Aproximace popsaná vztahy (26) a (27) je ukázána na obrázcích 1 a 2. Je patrné, že tyto průběhy jsou blízké typickým průběhům bavlněných vláken.



Obr. 1 Hustota pravděpodobnosti definovaná vztahem (26)



Obr. 2 Komplementární distribuční funkce definovaná vztahem (27)

Je-li komplementární distribuční funkce rozložení délek vláken popsána vztahy (27), lze výše popsaný postup aplikovat velmi snadno. Rovnici (10) je možné rozdělit na dvě části. První z nich popisuje vliv změn HPKV vstupního pramene (poruchová veličina), druhá vliv změn rychlosti posledního válečku (akční veličina).

$$\begin{aligned} \Delta d_2(t) = & a\rho v_1 \int_0^{\frac{l_{\max}}{v_{20}}} \Delta n_1(t - \tau_d - \tau) f_c(v_{20}\tau) d\tau + \\ & + a\rho v_1 n_{10} \Delta x(t) \int_0^{\frac{l_{\max}}{v_{20}}} \frac{df_c}{dl}(v_{20}\tau) d\tau - a\rho v_1 n_{10} \int_0^{\frac{l_{\max}}{v_{20}}} \frac{df_c}{dl}(v_{20}\tau) \Delta x(t - \tau) d\tau \end{aligned} \quad (28)$$

Prostřední integrál v (28) nepopisuje žádné distribuované zpoždění a lze jej snadno eliminovat

$$\begin{aligned} \Delta d_2(t) = & a\rho v_1 \int_0^{\frac{l_{\max}}{v_{20}}} \Delta n_1(t - \tau_d - \tau) f_c(v_{20}\tau) d\tau - \\ & - a\rho \frac{v_1}{v_{20}} n_{10} \Delta x(t) - a\rho v_1 n_{10} \int_0^{\frac{l_{\max}}{v_{20}}} \frac{df_c}{dl}(v_{20}\tau) \Delta x(t - \tau) d\tau \end{aligned} \quad (29)$$

Jelikož měřitelnou poruchovou veličinou je jemnost vstupního pramene nikoliv jeho HPKV je nutné do modelu zahrnout ještě rovnici (1). Tu lze snadno přepsat do tvaru

$$\Delta d_1(t) = a\rho v_1 \int_0^{\frac{l_{\max}}{v_1}} \Delta n_1(t - \tau) f_c(v_1\tau) d\tau \quad (30)$$

Označíme-li Laplaceovy transformace funkcí  $f_c(v_1\tau)$ ,  $f_c(v_{20}\tau)$  a  $\frac{df_c}{dl}(v_{20}\tau)$  symboly  $F_{c1}(s)$ ,  $F_{c2}(s)$  a  $dF_{c2}(s)$ , lze model (29), (30) převést do tvaru

$$\begin{aligned} D_2(s) = & \frac{F_{c2}(s)}{F_{c1}(s)} e^{-s\tau_d} D_1(s) - a\rho n_{10} v_1 \frac{1}{s} \left( \frac{1}{v_{20}} + dF_{c2}(s) \right) V_2(s) = \\ = & G_d(s) D_1(s) + G_u(s) V_2(s) \end{aligned} \quad (31)$$

kde symboly  $\Delta$  označující odchylky od nominálních hodnot byly pro přehlednost vynechány.

Konkrétně pro staplový diagram popsaný vztahy (27), dostaneme Laplaceovy obrazy  $F_{c1}(s)$  a  $F_{c2}(s)$  ve tvaru

$$F_{ci}(s) = \frac{\tau_i^4 s^4 - 12\tau_i^2 s^2 e^{-s\tau_i} - 24\tau_i s(1 + 2e^{-s\tau_i}) + 72(1 - e^{-s\tau_i})}{\tau_i^4 s^5} \quad (32)$$

$$i = 1, 2; \quad \tau_1 = l_{\max}/v_1; \quad \tau_2 = l_{\max}/v_{20}$$

a přenos poruchy  $G_d(s)$  a přenos akční veličiny  $G_u(s)$  pak lze psát ve tvaru

$$G_d(s) = P^4 \frac{\tau_2^4 s^4 - 12\tau_2^2 s^2 e^{-s\tau_2} - 24\tau_2 s(1 + 2e^{-s\tau_2}) + 72(1 - e^{-s\tau_2})}{\tau_1^4 s^4 - 12\tau_1^2 s^2 e^{-s\tau_1} - 24\tau_1 s(1 + 2e^{-s\tau_1}) + 72(1 - e^{-s\tau_1})} e^{-s\tau_d} \quad (33)$$

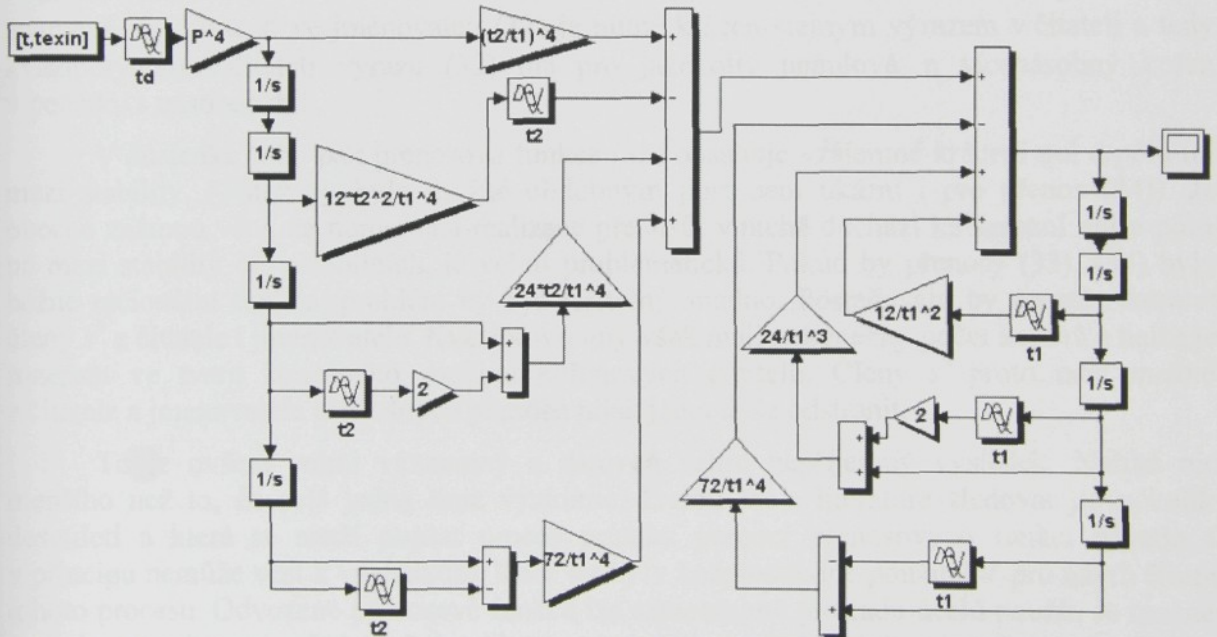
$$\tau_1 = l_{\max}/v_1; \quad \tau_2 = l_{\max}/v_{20}$$

$$G_d(s) = -\frac{5d_{10}v_1}{3v_{20}\tau_2^5} \frac{\tau_2^4 s^4 - 12\tau_2^2 s^2 e^{-s\tau_2} - 24\tau_2 s(1 + 2e^{-s\tau_2}) + 72(1 - e^{-s\tau_2})}{s^5} \quad (34)$$

$$\tau_2 = l_{\max}/v_{20}$$

kde  $d_{10}$  je jemnost vstupního pramene odpovídající jmenovitému pracovnímu bodu.

Přenosy (33) a (34) lze snadno realizovat v prostředí Matlab/Simulink. Na obrázku 3 je ukázána možná implementace přenosu (33), přenos (34) by bylo možné realizovat obdobným způsobem.



Obr. 3. Implementace přenosu (33) v prostředí Matlab/Simulink (řecká písmena  $\tau$  jsou ve schématu nahrazena latinskými písmeny  $t$ )

Uvedené schéma umožňuje simulovat odezvy průtahového ústrojí, přičemž tyto odezvy jsou stabilní. Obdobně je možné simulovat i odezvy na změny akční veličiny s využitím přenosu (34). Uvedený model byl podrobně popsán v (Hlava, 2003b), zjednodušený popis doplněný o návrh jednoduché regulace byl publikován v (Hlava, 2003c).

Při pokračujících pokusech s praktickou implementací regulátorů s vnitřním modelem založeným na popsaném modelu však byly postupně zjištěny určité problémy. Za vcelku triviální a očekávatelný problém lze pokládat odchylku v chování nelineárního systému a

linearizovaného modelu (34) při větších odchylkách od jmenovitého pracovního bodu. Tento problém lze z přijatelnou přesností řešit jednoduchou aplikací standardní techniky gain scheduling.

Závažnějším problémem se však ukázalo být zjištění, že přestože je model (33), (34) stabilní, má poměrně špatné numerické vlastnosti. Ty se projevily tím, že výstup modelu nakonec po krátkém či delším čase v závislosti na zvolené délce kroku numerické metody divergoval od správného řešení. Tento jev se projevil i tehdy, když byly místo běžných numerických metod pro obyčejné diferenciální rovnice, které jsou standardně dostupné v Simulinku, použity speciální metody (viz Shampine & Thompson, 2001) výslově určené pro diferenčně diferenciální rovnice. K tomuto jevu došlo navíc i při jiných realizacích přenosu (33) než je ta, která je znázorněna na obr. 3. Když byl přenos převeden do tvaru stavových rovnic byla zkoumána odezva takto popsaného systému, objevil se stejný problém. Byla hledána příčina tohoto jevu a nakonec bylo zjištěno, že jej zřejmě lze vysvětlit následujícím způsobem.

Laplaceova transformace  $F_{ci}(s)$  daná vztahem (32) má zdánlivě vícenásobný pól v počátku s násobností 5. Ze vztahu (14) je však zřejmé, že  $F_{ci}(s)$  lze také vyjádřit jako

$$F_{ci}(s) = \frac{l_m}{v_i} \int_0^{l_m/v_i} f_c(v_i\tau)e^{-s\tau} d\tau \quad (35)$$

Z tohoto vyjádření je na první pohled zřejmé, že  $F_{ci}(s)$  nemá ani pól ani nulu v počátku. To znamená, že výraz  $s^5$  ve jmenovateli (32) je nutně krácen stejným výrazem v čitateli a tedy kvazipolynom v čitateli výrazu (32) má pro jakékoli nenulové  $\tau_i$  vícenásobný kořen v počátku s násobností 5.

V důsledku toho pak přenosová funkce (33) obsahuje vzájemné krácení nul a polů na mezi stability. (Totéž by bylo možné obdobným postupem ukázat i pro přenos (34)). Je obecně známou věcí, že numerická realizace přenosů, v nichž dochází ke krácení nul a polů na mezi stability či nestabilních, je velmi problematická. Pokud by přenosy (33), (34) byly běžné racionální funkce, problém by byl řešitelný snadno. Postačovalo by prostě odstranit členy  $s^5$  z čitatele i jmenovatele. Kvazipolynomy však mají nekonečný počet kořenů a nelze je rozepsat ve tvaru konečného součinu kořenových činitelů. Členy  $s^5$  proto není možné z čitatele a jmenovatele příslušných přenosů nijak jednoduše odstranit.

To je ovšem velmi významný a zároveň velmi nepříjemný výsledek. Neříká nic menšího než to, že celá jedna linie výzkumu, kterou lze v literatuře sledovat již několik desetiletí a která se snaží popsat proces průtahu pomocí přenosových funkcí nevede a v principu nemůže vést k výsledkům, které by byly bezprostředně použitelné pro návrh řízení tohoto procesu. Odvozené přenosové funkce lze samozřejmě pro řadu účelů použít. Je možné s nimi pracovat ve frekvenční oblasti, s využitím příslušných metod pro určování dominantních kořenů kvazipolynomů (viz např. Vyhíldal & Zítek, 2003) je lze použít k analýze dynamických vlastností procesu. Vzhledem k tomu, že námi odvozené přenosy jsou na rozdíl od starších pokusů stabilní, lze je užít i pro krátké simulace odezev v časové oblasti. Pro delší simulace a pro použití v regulátorech založených na modelu (regulátory s vnitřním modelem, model prediktivní řízení) však nejsou vhodné. Dospíváme tak k výsledku, který je velmi zajímaný z teoretického hlediska a v současnosti je propracováván do podoby článku, který bude zaslán do časopisu Textile Research Journal. Z hlediska návrhu regulace je to však výsledek velmi nepříjemný, neboť znamená, že je nezbytné hledat alternativní přístupy k modelování procesu průtahu.

## Nelineární numerický model

Problematice alternativních modelů je věnováno především pojednání (Hlava, 2003a). První možnou alternativou je použít přímo nelineární model s distribuovanými zpožděními (1), (6). Tento model je sice obtížně analyzovatelný a pro klasické přístupy k návrhu regulátoru obtížně použitelný, pro některé modernější přístupy k řízení, především pak pro model prediktivní řízení, je možné i tento typ modelu použít. Integrály (1) a (6) lze počítat pomocí vhodné numerické approximace. Pro výpočet integrálu (6) je nezbytné získat hodnoty implicitní funkce  $\tau(l, t)$  řešením rovnice (5). To může vést ke snížení přesnosti modelu, neboť hodnoty  $v_2$  a  $n_1$  jsou dostupné pouze v okamžicích vzorkování a hodnoty  $\tau(l, t)$  vypočtené z (5) nebudou v obecném případě celočíselnými násobky periody vzorkování. Z tohoto důvodu je vhodnější použít rovnice (7)-(9) a nastavit horní mez integrálu v (9) na hodnotu odpovídající maximální přípustné hodnotě  $v_2$ .

Vlastní algoritmus výpočtu pak může být poměrně jednoduchý. V každém diskrétním okamžiku vzorkování  $k$ , je pomocí diskretizované rovnice (1) a pole minulých hodnot  $n_1$  vypočtena hodnota  $n_1(k)$ . Je-li použita nejjednodušší verze numerické integrace – obdélníková metoda - je  $n_1(k)$  dán vztahem

$$n_1(k) = \frac{(d_1(k) - d_1(k-1))}{a\rho v_1 T_s} + T_s \sum_{i=1}^{k_{\tau_1}} n_1(k-i) (f_c((i-1)v_1 T_s) - f_c(iv_1 T_s)) \quad (36)$$

kde  $T_s$  je perioda vzorkování a  $k_{\tau_1} = \text{int}(\tau_1/T_s)$ .

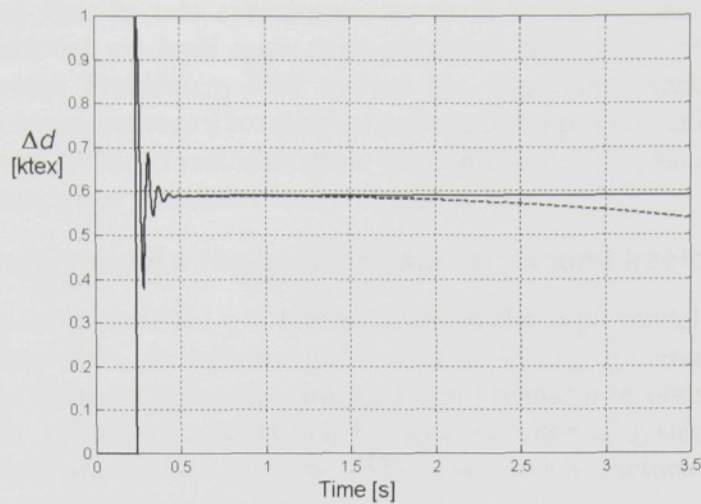
Je samozřejmě možné použít přesnější numerické approximace integrálu. Rovnice (36) je pak o něco složitější, její struktura je však stejná. Chyba způsobená skutečností, že  $\tau_1$  není zcela přesně celočíselným násobkem  $T_s$  není z praktického hlediska podstatná, neboť  $\tau_1$  je funkcí  $l_m$ , které je tak jako určitelné pouze experimentálně a s nepříliš velkou přesností.

V druhém kroku algoritmu je pak použito pole minulých hodnot  $n_1$  a  $v_2$  k numerickému výpočtu  $d_2(k)$ . Tento výpočet je proveden jako numerická approximace integrálu (9). Je ovšem velmi důležité, aby na vztahy (1) a (9) byla aplikována stejná metoda numerické approximace integrálu. Approximace (1) je totiž použita k nalezení vztahu  $n_1(k)$  a tento vztah (v případě obdélníkové approximace vztah (36)) zahrnuje numerickou diferenci. Pokud by navazující integrace byla provedena jinou approximací výsledky by byly nepřesné.

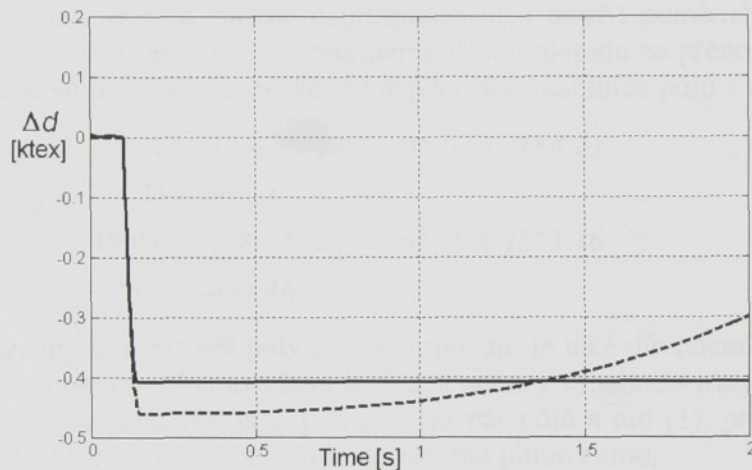
Popsaný nelineární diskretizovaný model procesu průtahu byl implementován v Simulinku jako S-funkce. Na obrázku 4 je vidět srovnání simulačních průběhů s přenosem (33) realizovaným pomocí schématu na obr. 3. Odezva přenosu (33) je nakreslena čárkovanou čarou, odezva numerického modelu založeného na approximaci integrálu plnou čarou. Na obrázku 5 je obdobné srovnání odezvy na změnu rychlosti posledního válečku mezi nelineárním modelem a přenosovou funkcí (34). Uvedené odezvy byly získány s následujícími hodnotami parametrů:

$$\begin{aligned} l_m &= 0.04 \text{ m}; v_1 &= 0.49 \text{ m/s}; v_2 &= 0.83 \text{ m/s} \\ P &= 1.7; T_s &= 0.1 \text{ ms}; \tau_d &= 0.1876 \text{ s}; \Delta v_2 &= 0.1 \text{ m/s} \end{aligned} \quad (37)$$

Na obrázku 4 je zřejmé, že počátky obou odezv jsou stejné, po jisté době se však odezva modelu (33) začíná odchylovat od správné (v tomto případě ustálené) hodnoty. Obdobně lze sledovat i na obrázku 5 nejprve ustálení a poté postupnou divergenci odezvy modelu (34). Určitá odchylka již na počátku je v tomto případě způsobena tím, že nelineární model a jeho linearizovaná podoba nemají stejnou statickou charakteristiku.

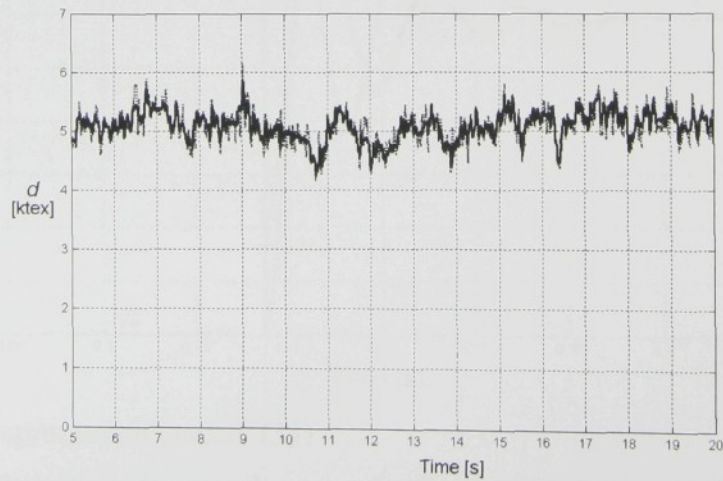


Obr. 4 Srovnání modelu (33) a nelineárního numerického modelu



Obr. 5 Srovnání modelu (34) a nelineárního numerického modelu

Obdobně je možné ukázat, že k divergenci výstupu modelu nedojde, ani pokud je provedena delší simulace, při níž jsou na vstup modelu přivedena reálná data naměřená snímačem na vstupu průtahového ústrojí a výstup modelu je srovnán s výstupem ústrojí. Toto srovnání je uvedeno na obr. 6.



Obr. 6 Výstup z nelineárního numerického modelu (plná čára) a výstup změřený na výstupním snímači ústrojí (tečkovaná čára)

Je tak možné říci, že tato approximace založená na numerickém výpočtu integrálů distribuovaných zpoždění má lepsí numerické vlastnosti než model popsaný iracionálními přenosovými funkcemi. Problémem však mohou být výpočetní nároky (množství operací v pohyblivé řádové čárce, operace s rozsáhlými poli nutnými pro uložení minulých hodnot  $n_1$  a  $v_2$ ). Jelikož provozní rychlosti reálného stroje jsou zhruba o řád vyšší než hodnoty udané v (37) může být implementace v reálném čase problematická.

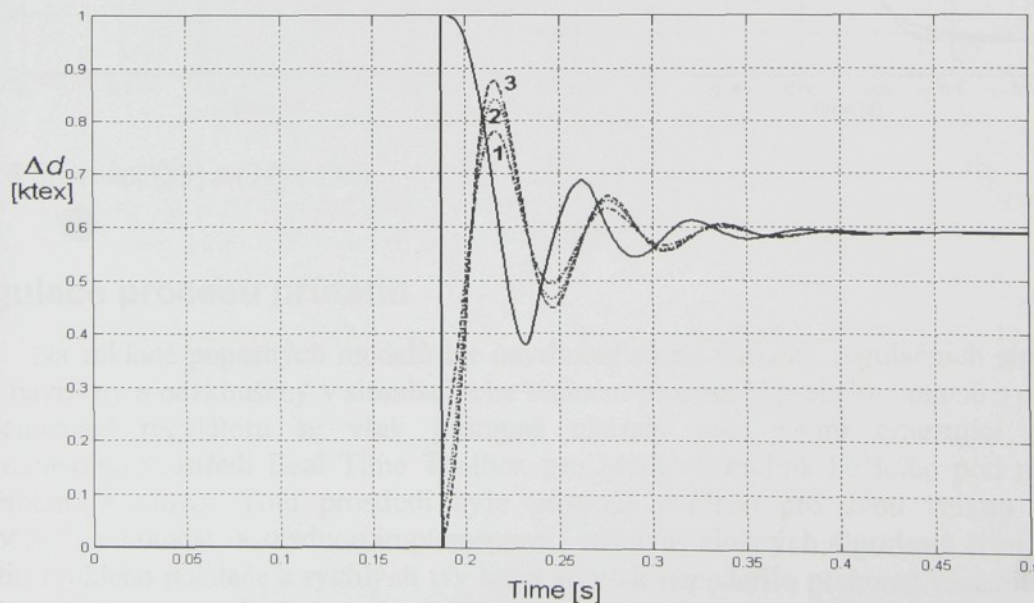
### Linearizovaný model s racionálními approximacemi iracionálních přenosů

Tato skutečnost je motivací pro hledání ještě jiného typu modelu. Výchozím bodem zde může být známý fakt, že ačkoliv počet kořenů kvazipolynomu je nekonečný, pro dynamiku stabilního systému popsaného iracionálním přenosem je podstatný relativně malý počet dominantních kořenů charakteristického kvazipolynomu systému. Naskytá se tak možnost approximovat iracionální přenosy (33), (34) jejich racionálními approximacemi obsahujícími pouze dominantní póly a nuly.

V prostředí Matlabu není přímo k dispozici funkce, která by umožňovala výpočet kořenů kvazipolynomu. Je však možné naprogramovat a použít poměrně efektivní metodu navrženou v (Vyhlidal & Zítek, 2003). Aplikujeme-li tuto metodu na přenos (33), zjistíme, že tento přenos má následující komplexně sdružené páry dominantních pólů a nul.

$$\begin{aligned} p_1 &= -23.51 \pm j104.72; \quad p_2 = -36.93 \pm j184.21 \\ p_3 &= -45.31 \pm j262.62 \\ z_1 &= -39.97 \pm j178.02; \quad z_2 = -62.79 \pm j313.16 \\ z_3 &= -77.03 \pm j446.46 \end{aligned} \tag{38}$$

Skutečnost, že všechny dominantní póly jsou komplexní, je také důvodem toho, že odezva je tak silně kmitavá. Na obrázku 7 je uvedeno srovnání odezvy systému s iracionálním přenosem (33) a jeho approximací využívající pouze první pár pólů a nul (1), první dva páry (2) a všechny tři páry (3). Odezva přenosu (33) je zakreslena plnou čarou.



Obr. 7 Racionální approximace modelu (33)

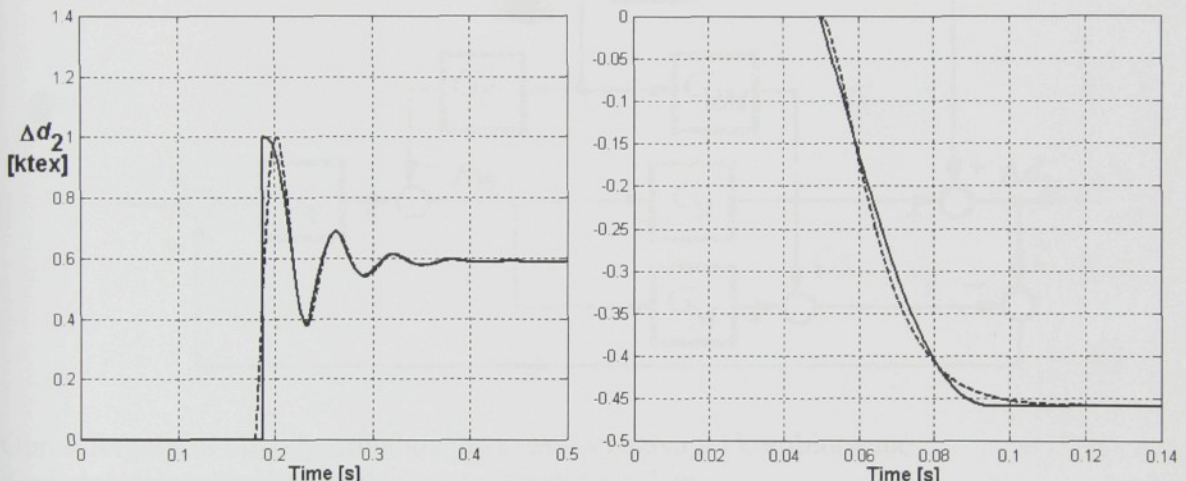
Je zřejmé, že tato approximace konverguje. Zároveň však je patrné, že skutečně dobrá approximace by vyžadovala zahrnout do modelu velké množství kořenů, což by vedlo na

model vysokého řádu, který by z hlediska numerických vlastností pravděpodobně nebyl příliš vhodný. Zároveň je však také vidět, že se vztuštajícím řádem approximace se frekvence oscilací odezvy prakticky nemění. Z toho vyplývá, že zřejmě nejjednodušším postupem, jak nalézt racionální approximaci nízkého řádu, je použít ve jmenovateli pouze dominantní kořenový pár a výrazně derivační charakter odezvy, kterým se systém (33) vyznačuje, dosáhnout zařazením člena prvního řádu do čitatele. S využitím optimalizačních funkcí Matlabu lze jednoduše nalézt vhodnou velikost časové konstanty tohoto člena a vhodné snížení dopravního zpoždění  $\tau_d$  tak, aby se odezva approximace co nejlépe blížila původní odezvě. Obdobně lze postupovat v případě přenosu akční veličiny (34). Aplikací tohoto postupu lze získat následující racionální approximace (33), (34) v okolí pracovního bodu určeného parametry (37)

$$G_d = 0.588 \frac{0.0083s + 1}{8.68 \cdot 10^{-5} s^2 + 4.08 \cdot 10^{-3} s + 1} e^{-0.18s} \quad (39)$$

$$G_u = -\frac{4.59}{(0.008s + 1)^2}$$

Srovnání odezv (33), (34) a (39) je na obrázku 8. V levé části je znázorněna odezva  $G_d$ , v pravé části  $G_u$ . Shoda je v obou případech relativně dobrá.



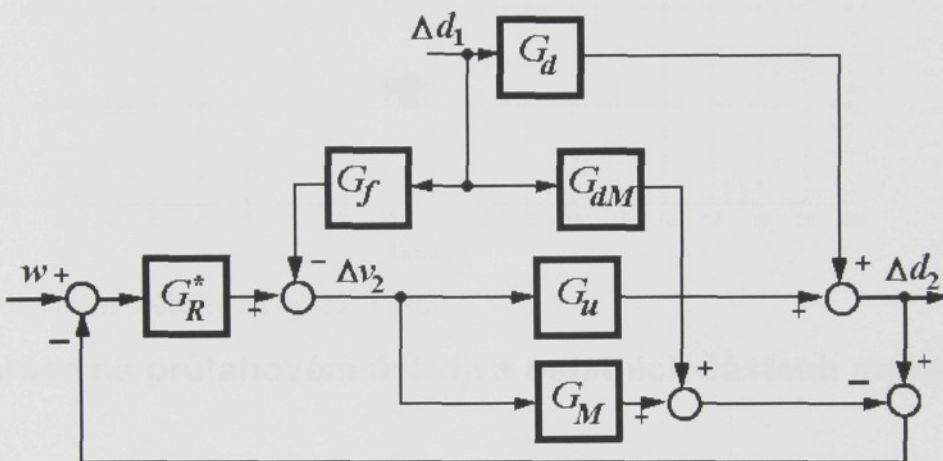
Obr. 8 Srovnání (33) a (34) s (39)

## Regulace procesu průtahu

Na základě popsaných modelů lze navrhnout různé varianty regulačních struktur. Ty byly navrženy a odzkoušeny v simulaci a na reálném procesu. V průběhu pokusů s praktickou implementací regulátoru se však postupně ukázaly jako velmi omezující vlastnosti programového prostředí Real Time Toolbox pro Matlab/Simulink běžícího pod operačním systémem Windows. Toto prostředí bylo původně zvoleno pro svou velkou pružnost, výpočetní mohutnost a snadnou implementaci i relativně složitých algoritmů řízení. Ani při použití rychlého počítače a rychlých v/v karet se však nepodařilo překonat zásadní problém, že Windows nejsou vhodné pro práci v reálném čase a při realizaci komplikovanějších algoritmů docházelo k nedodržení přesné periody vzorkování a hroucení regulace již při relativně velmi dlouhých periodách vzorkování okolo 1 ms. Z tohoto důvodu bylo nakonec rozhodnuto toto prostředí opustit a jako náhrada byl vybrán řídící počítač s operačním systémem reálného času PXI 8176 (výrobce National Instruments, frekvence procesoru

1,2 GHz) a rychlými analogovými vstupními výstupními kartami. Tento počítač je přímo určen pro rychlé řízení v reálném čase (se vzorkovacími frekvencemi v rádu desítek kHz, v závislosti na složitosti regulačního algoritmu), zároveň však je možné jej programovat z nadřazeného počítače PC pomocí systému LabVIEW, tedy relativně jednoduše a rychle. Tento systém je v současné době uváděn do provozu a jeho použití při ověřování algoritmů řízení průtahového ústrojí se předpokládá v průběhu prosince.

V tomto textu proto zatím pro informaci uvádíme pouze jeden z algoritmů řízení odzkoušený simulačně. Vycházeje z některých našich předchozích zkušeností s řízením systémů se zpožděním (viz např Zítek & Hlava, 2001) je použit kombinovaný dopředně/zpětnovazební regulátor s vnitřním modelem. Jeho struktura je zachycena na obr. 9. V této struktuře symbolizuje blok  $G_S$  skutečný přenos mezi akční veličinou ( $v_2$ ) a regulovanou veličinou ( $d_2$ ) a blok  $G_d$  skutečný přenos mezi poruchovou veličinou ( $d_1$ ) a regulovanou veličinou. Ostatní bloky jsou součástí regulátoru. Bloky  $G_M$  a  $G_{dM}$  představují modely přenosu akční a poruchové veličiny. Bloky  $G_R^*$  a  $G_f$  pak zpětnovazební a dopředný regulátor.



Obr. 9 Regulační obvody průtahového ústrojí využívající kombinované dopředně/zpětnovazební struktury s vnitřním modelem

Regulátor je založen na zjednodušených racionálních modelech (39), které lze numericky implementovat jednoduše a efektivně. Jako řízený systém byl pro účely simulace použit nelineární numerický model. Zpětnovazební regulátor i dopředný kompenzátor byly navrženy podle standardní procedury používané při návrhu regulátorů s vnitřním modelem.

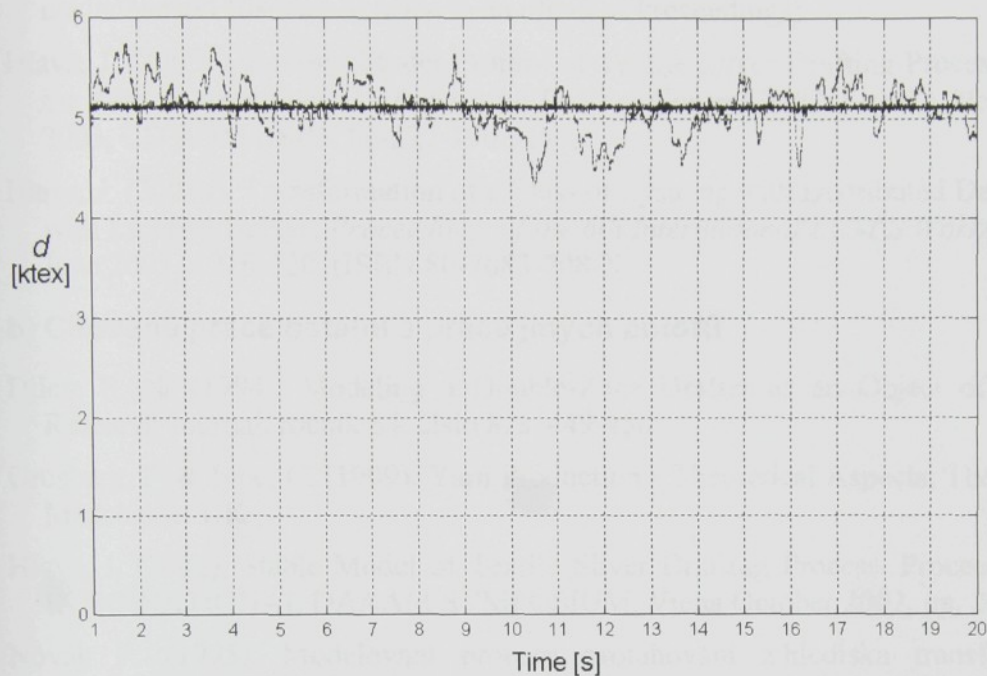
Jelikož (39) je invertibilní, lze přenosy regulátoru a dopředného kompenzátoru popsat následujícími vztahy.

$$G_R^*(s) = G_u^{-1}(s) \frac{1}{(\lambda_1 s + 1)^2} \quad (40)$$

$$G_f(s) = G_u^{-1}(s) G_d(s) \frac{1}{(\lambda_2 s + 1)} \quad (41)$$

Hodnoty  $\lambda_1$ ,  $\lambda_2$  jsou zvoleny tak, aby byl zabezpečen vhodný kompromis mezi robustností a nominální kvalitou regulace. Při tom bylo nutné vzít v potaz zejména odlišný průběh odezvy nelineárního procesu a zjednodušeného racionálního modelu. V konkrétním popisovaném případě jsou optimální hodnoty  $\lambda_1=2$  ms a  $\lambda_2=2.5$  ms.

Ukázka regulačních průběhů je zachycena na obr. 10. Plnou čarou je zakreslen průběh regulované jemnosti pramene na výstupu ústrojí. Čárkovanou čarou je zakresleno, jak by vypadal neregulovaný průběh (jedná se o průběh sejmuty vstupním snímačem a pouze vynásobený obrácenou hodnotou průtahu). Je zřejmé podstatné snížení nerovnoměrnosti pramene dosažené regulací.



Obr. 10 Regulační průběhy na výstupu ústrojí

### Další práce na průtahovém ústrojí a ostatních částech mykacího stroje

V současnosti je již k dispozici pracoviště umožňující pokusy jak s celým mykacím strojem tak s jeho dílčími podsystémy. V tomto okamžiku je stroj zatím ještě provozován při relativně nízkých rychlostech, v dohledné době však bude možné jej provozovat při plné provozní rychlosti. Plánované práce se tak zaměří v první řadě na zprovoznění řídicího počítače s operačním systémem reálného času zmíněného v předchozí podkapitole a jeho připojení k mykacímu stroji. Tento počítač bude v první fázi využit k ověření navržených algoritmů řízení průtahového ústrojí. V dalším kroku pak bude použit nejprve pro další měření a identifikaci mykacího stroje a posléze pro pokusy s řízením celého mykacího stroje. V návaznosti na to a zároveň na vývoj elektroniky řídicího systému, který bude součástí definitivní verze stroje, pak bude provedena implementace regulačních algoritmů v jazyce C tak, aby bylo možné jej do tohoto řídicího systému začlenit.

### Citovaná literatura

#### a) Práce autorů této zprávy bezprostředně se vztahující k řešení projektu a napsané a otisklé v roce 2003

(publikované texty obsahují explicitní odkaz na to, že popisují výsledky výzkumu probíhajícího v rámci projektu LN00B090)

Hlava J. (2003a), Modelling and Control of Cotton Sliver Drafting Process, *Proceedings of 3rd WSEAS International Conference on Systems Theory and Scientific Computation (ISTASC'03)*, Rhodes Greece, November 2003, CD-ROM (ISBN 960-8052-90-4), zároveň

otištěno v časopise *WSEAS Transactions on Circuits and Systems*, Vol.2, No. 4, pp. 808-813, ISSN 1109-2734

Hlava, J. (2003b), Time Delay Systems Applications in Textile Industry – Modelling of Sliver Drafting Process, *Preprints of IFAC Workshop on Time Delay Systems TDS'03*, Rocquencourt, France September 2003, CD ROM (ISBN bude přiděleno až poté, co nakladatelství Elsevier Science vydá oficiální Proceedings)

Hlava, J. (2003c), Internal Model Control of Textile Sliver Drafting Process, *Proceedings of the 14th International Conference on Process Control 2003*, Štrbské Pleso, Slovakia June 2003, CD ROM (ISBN 80-227-1902-1)

Hlava, J. (2003d), Transformation of a Class of Systems with Distributed Delays into Systems with Lumped Delays, *Proceedings of the 6th International ECM<sup>2</sup>S Workshop*, TU Liberec, June 2003, s.216-220, (ISBN 80-7083-708-X)

#### **b) Citované práce ostatní a práce jiných autorů**

Djiev, S. N. (1994), Modeling a Double-Zone Drafter as an Object of Control. *Textile Research Journal*, ročník 64, číslo 8, s. 449-456

Grosberg, P. & Iype, C. (1999). Yarn Production - Theoretical Aspects, The Textile Institute, Manchester UK

Hlava, J. (2002), Stable Model of Textile Sliver Drafting Process, *Proceedings of the 13th INTERNATIONAL DAAAM SYMPOSIUM*, Viena October 2002, pp. 207-208

Novák P. (1995), Modelování procesu protahování z hlediska transformace hmotové nestejnoměrnosti, doktorská disertační práce TU Liberec, Fakulta textilní

Shampine L.F., & Thompson S. (2001), Solving DDEs in Matlab , *Appl. Numer. Math.*, Vol. 37, pp. 441-458

Ursíny, P. (1992), Teorie předení II, skripta TU Liberec, Fakulta textilní

Vyhlídal, T., & Zítek, P. (2003), Quasipolynomial Mapping Based Rootfinder for Analysis of Time Delay Systems, *Preprints of 4th IFAC Workshop on Time Delay Systems*, France, September 2003, CD-ROM

Zítek, P. & Hlava, J. (2001). Anisochronic internal model control of time-delay systems. *Control Engineering Practice*, ročník 9, č. 5, s.501-516

#### **4. Návrh průtažného ústrojí**

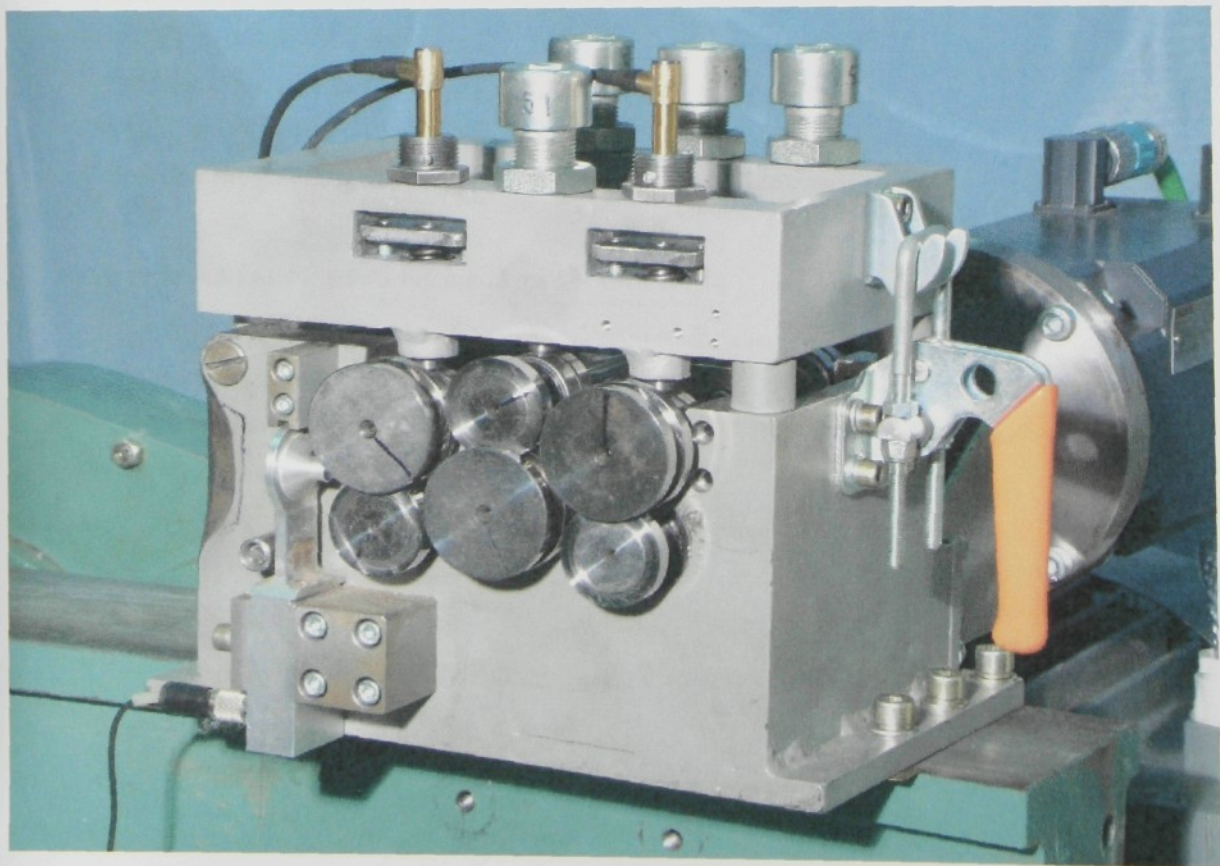
(ved. řešitel Ing.Šrámek, řešitelé Ing.Rous, Ing.Barančok, M.Vychroň, Ing.Koukolíková)

Byl vyroben základní model průtažného ústrojí, který byl odzkoušen na zkušebním standu. Po zhodnocení zkoušek byly navrženy úpravy a vyroben další model, který je na obrázku v příloze zprávy.

V průběhu řešení byly optimalizovány skupiny, které mají vliv na textilní technologii a provoz snímačů, které měří délkovou hmotnost pramene. Z hlediska funkce je důležité, aby horní váleček měl stejnou obvodovou rychlosť jako spodní hnací váleček. To by bylo dosaženo použitím ozubených kol. Prověřovali jsme toto řešení a dospěli k závěru, že je nepoužitelné, protože nelze ozubení dokonale zakrytovat. Textilní prach by znehodnotil tento způsob. Je navržen třetí převod, kde testujeme (optimalizujeme) druh a tvrdost gumového válečku. Máme gumové válečky od firmy OTALO (70 Sh) a vulkanizované z TANEX Jaroměř (83 Sh).

Průtažné zařízení je nainstalováno na mykacím stroji a po dokončení řídící elektroniky proběhnou komplexní zkoušky.

Nové průtažné ústrojí mykacího stroje a nové snímače délkové hmotnosti pramene



# Optické snímání plošné hustoty rouna na mykacím stroji

Doc. Ing. Ivan Doležal, CSc.

Ing. Radim Vondra

Ing. Josef Grosman

*Technická univerzita v Liberci*

Tato zpráva se zabývá etapou vývoje od března do listopadu 2003. Navazuje a rozšiřuje poznatky z předchozího výzkumu aplikací optických snímačů (viz zpráva „Optické principy snímání hustoty rouna“ v sekci C z r. 2002). V míře nezbytné pro porozumění stručně rekapituluje výsledky předchozích etap.

## Optická metoda snímání obecně

- + nemá žádné pohyblivé nebo jinak složité mechanické díly
- + může být relativně levná
- vliv okolního osvětlení
- silně nelineární závislost mezi optickou a hmotnostní hustotou lehce stlačitelného, tvarově nestabilního rouna ⇒ použitelnost metody mohou ukázat až praktické zkoušky prototypu se zapojením do zpětné vazby

## Původní řešení s řádkovým snímačem CCD

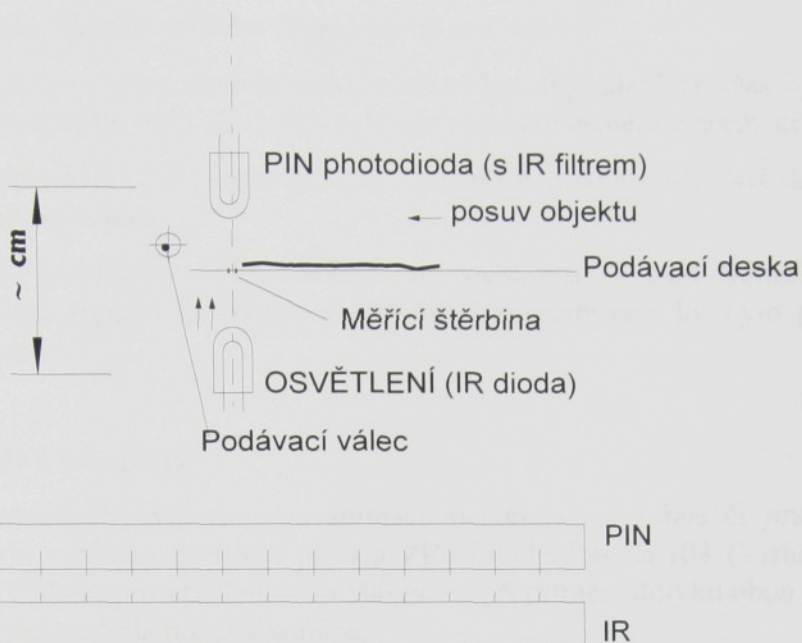
- + poměrně jednoduché
- + dostatečně citlivé
- menší dynamický rozsah
- vzhledem ke geometrii optiky nutná vzdálená montáž
- velký vliv okolního osvětlení
- potřeba rovnoměrného podsvětlení = poměrně obtížné

## Nové řešení s řadou páru IR LED - PIN fotodioda

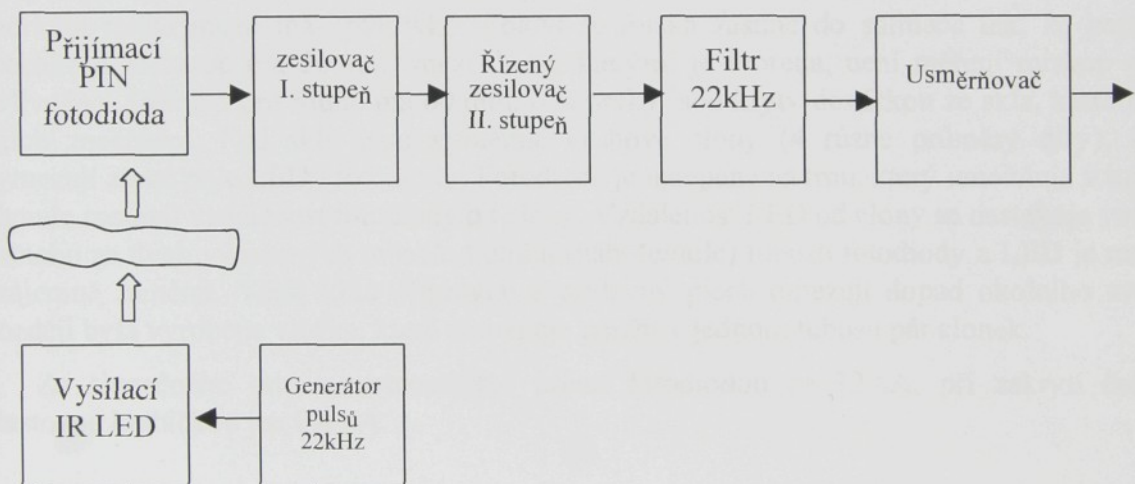
- + menší zástavba
- + snazší odstínění okolního osvětlení
- + menší vliv denního světla vzhledem k maximu citlivosti prvků v IR oblasti
- nespojité
- mnohokanálové ⇒ potřeba mnoha snímačů

Při 32 párech bude jejich rozteč na stroji 30-35 mm.

LED je napájena *pulzně* a fotodioda zapojena v *pasivním režimu*.



### Původní zapojení



- spínání napájení LED se střídou 1:1 a kmitočtem rádu kHz
- střídavě vázaný 2-stupňový zesilovač
- pásmová propust
- špičkový detektor
- + dobré potlačení okolního osvětlení
- + potlačení šumu a brumu
- o řad nižší možné maximum špičkového proudu LED
- relativně velká střední spotřeba budiče LED (50 % špičkového proudu)

- výstup se snadno dostal do saturace
- pro všechny kanály potřeba velmi mnoho součástek

Konkrétní provedení obvodu mělo určité nedostatky, které by však bylo možno odstranit. Špičkový detektor by bylo vhodnější nahradit přesným usměrňovačem střední hodnoty.

Pulzní proud IR LED a/nebo zesílení signálu fotodiod by mělo být skokově regulovatelné z řídicího mikropočítače.

Hlavním problémem bylo násobné provedení pro 32 páru snímačů, neboť vzhledem k době ustálení signálu na pásmové propusti i usměrňovači by bylo problematické jejich multiplexování.

## **Měření LED a fotodiody**

Původní, jednoduchý vzorek páru snímačů neměl žádný tubus či jiné optické odstínění, nicméně byla změřena závislost proudu PIN fotodiodou BP104 (Vishay) na proudu LED TSHA520 (Vishay) pro vzdálenost ca 100 mm a při přímém dotyku obou prvků. Pro eliminaci okolního osvětlení byla použita krabice.

## **Přípravek na testování jednoho měřicího páru**

S pracovníky VÚTS byl navržen a v jejich dílnách realizován přípravek (obr. 1 v příl. 3), který zajišťuje souosost LED a fotodiody a zároveň umožňuje zasunutí drátěné misky se vzorkem rouna mezi oba optoprvky. Pokud se miska zasune do snímače tak, že paprsky procházejí mezerou (ca 20 mm) mezi dráty, kterými je tvořena, není měření miskou nijak ovlivněno. Štěrbina pro rouno má 60 mm, oba prvky jsou kryty destičkou ze skla, které brání jejich znečištění. Pod skly jsou výměnné kruhové clony (4 různé průměry díry), které vymezují zorné pole LED i fotodiody. Fotodioda je nalepena na trnu, který umožňuje v tubusu plynule nastavit vzdálenost fotodiody od clony. Vzdálenost LED od clony se nastavuje volbou jednoho ze třech výměnných tubusů. Polohu (na hoře/dole) tubusů fotodiody a LED je možné vzájemně zaměnit. Větší šířka přípravku a přídavný plech omezují dopad okolního světla. Později byla vyrobena vložka, která umožňuje použít v jednom tubusu pár clonek.

Za slunečného dne v místnosti byl proud fotodiodou ca 12 nA, při zakrytí černou plastovou krabičkou jen 0,4 nA.

## **Nové zapojení**

### **Charakteristika**

- multiplexování LED
- řízený stabilizátor proudu LED
- pouze 4 proudové zesilovače s multiplexováním 8 fotodiod, napájených konstantním napětím
- jediný multiplexor před A/D převodníkem
- odstranění signálu pozadí (okolního osvětlení) odečtením odměru v době bez buzení LED
- špičkový proud LED až 1 A (5× větší než u původního zapojení, neboť malá střída)

Blokové schéma je v příl. 5. Předpokládá se, že každý pár LED-fotodioda bude kalibrován, a že poslední, 32. kanál bude vyhrazen pro průběžnou kalibraci citlivosti měřicího řetězce, která je závislá na teplotě obou optoelektronických prvků. LED a fotodioda tohoto kanálu budou umístěny mimo vlastní měřicí štěrbinu, kde budou odděleny clonou s velkou a konstantní optickou hustotou. Po vypnutí všech multiplexerů fotodiod bude možno změřit offset každého ze 4 zesilovacích řetězců – ovšem vzhledem k subtraktivní metodě měření by se mohl nepříznivě uplatnit pouze při kalibraci jednotlivých párů LED-fotodioda.

### Multiplexování kanálů

Sepnutím 1 ze 4 elektronických spínačů kladného napájecího napětí 24 V (v 1-kanálovém prototypu jen 9 V) se aktivuje 8 sériově zapojených LED, rozmístěných ovšem na každé 4. pozici, t.j.

|           |                               |
|-----------|-------------------------------|
| 1. spínač | kanál č. 1, 5, 9, ... 25, 29  |
| 2. spínač | kanál č. 2, 6, 10, ... 26, 30 |
| 3. spínač | kanál č. 3, 7, 11, ... 27, 31 |
| 4. spínač | kanál č. 4, 8, 12, ... 28, 32 |

Mezera mezi kanály, u nichž je LED rozsvícena, zabrání ovlivňování právě snímaného, jediného kanálu svitem sousedních rozsvícených LED.

Řetěz LED je spojen na zem přes regulovaný zdroj proudu, nastavovaný (alespoň stupňovitě) z řídicího mikrokontroléru.

Pokud se ukáže, že celkový úbytek napětí na 8 LED při špičkovém proudu 1 A, na zdroji proudu a na spínači překračuje dostupné napájecí napětí 24 V, počítá se s možností 8 spínačů, každý jen se 4 LED v sérii.

Současně bude nastaven příslušný kanál všech analogových multiplexerů AMUX0-3, které připínají fotodiody na vstupy 4 zesilovačů – převodníků proudu na napětí. Následující další analogový multiplexer vybere výstup jednoho z multiplexerů AMUX0-3 na vstup A/D převodníku. Předpokládá se, že multiplexování kanálů půjde podle jejich pořadového čísla 1-32. Jako poslední tedy bude kalibrační kanál č.32.

Na každém kanálu se provedou 2 odměry A/D převodníku – nejprve s rozsvícenou LED, pak se zhasnutou LED. Druhý údaj je dán vlivem okolního osvětlení a odečte se od prvního. Mezi odměry musí být ponechána přiměřená prodleva na ustálení signálu fotodiody i odezvu zesilovače.

### Volba časování

Dle datových listů LED byla zvolena délka pulzů špičkového proudu 100 µs.

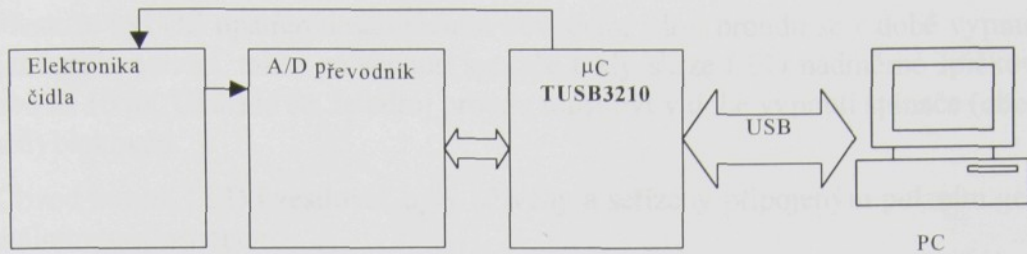
Zadání požaduje vzorkování ca 30 vz./s, t.j. s periodou 33 ms, tedy zvolíme 1 ms na 1 kanál. Z výše uvedeného multiplexování plyne, že LED bude spínána s periodou 4 ms, tedy střída 1:40, což umožní zvolut bezpečný špičkový proud 1 A.

Protože doba ustálení signálu fotodiody a zesilovače využívá délku pulzu 100 µs, uvažuje se stejná doba do vzorkování s vypnutými LED.

### Starší varianta

Byl použit modul s mikroprocesorem TUSB3210 a deska s A/D převodníkem, které měl ing. Vondra k dispozici a které byly použity již v původním zapojení. Na PC běžel program, který zobrazoval data vysílaná mikroprocesorem.

K těmto modulům byla navržena deska zesilovače a deska interface s obvody spínání LED.



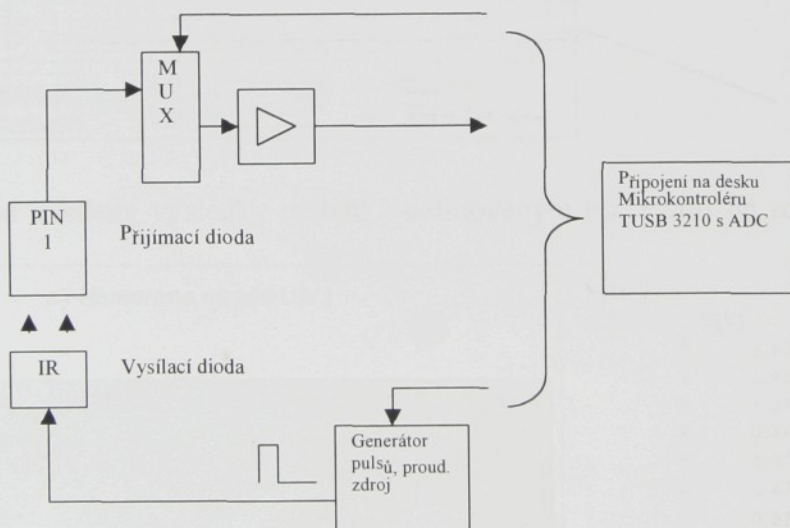
### Multiplexer a zesilovač fotodiod

Použit převodník proud-napětí s JFET operačním zesilovačem AD795 (Analog Devices) o nízkém klidovém vstupním proudu a se standardním napájením, zde  $\pm 12$  V. Zpětnovazební odpor a tedy i převodní vodivost byly nejprve  $50\text{ M}\Omega$ , což odpovídá proudu fotodiody  $50\text{ nA}$  na plný výstupní rozsah  $2,5\text{ V}$ .

Invertující zapojení vyžaduje pro kladné výstupní napětí záporné inverzní napětí fotodiod – je použit standardní stabilizátor 79L05 na  $-5\text{ V}$ .

Pro zjištění příp. parazitních vlivů byl zapojen analogový multiplexer ADG508A (Analog Devices), byť zde do invertujícího vstupu OZ připojuje jedinou fotodiodu.

Malá deska je umístěna přímo na držáku fotodiody v plechovém krabičce, aby byla stíněna proti rušení.



### Řízení pulzního proudu LED

Spínač napájení je pouze jediný. Zdroj proudu se dvěma operačními zesilovači a tranzistorem MOSFET byl řízen 3 logickými signály, s volbou proudu  $10\text{ mA}$ ,  $100\text{ mA}$  a  $1,0\text{ A}$ .

Vzhledem k dominantní časové konstantě, tvořené vnitřním odporem OZ, ochranným odporem a kapacitou hradla MOSFET byl problém s kmitočtovou kompenzací, aby obvod

nekmital. MOSFET byl použit proto, že v případě bipolárního tranzistoru by snímacím rezistorem v emitoru tekl navíc proud báze.

Přestože byl OZ opatřen desaturačním obvodem, zdroj proudu se v době vypnutí spínače napájení zcela otevřel, takže po sepnutí spínače tekly skrz LED nadměrné špičkové proudy po dobu až 10 µs. Ukázalo se, že zdroj proudu musí být v době vypnutí spínače (obecně všech spínačů) blokován.

Obvod buzení LED i zesilovač byly oživeny a seřízeny připojeným pulzním generátorem a digitálním osciloskopem.

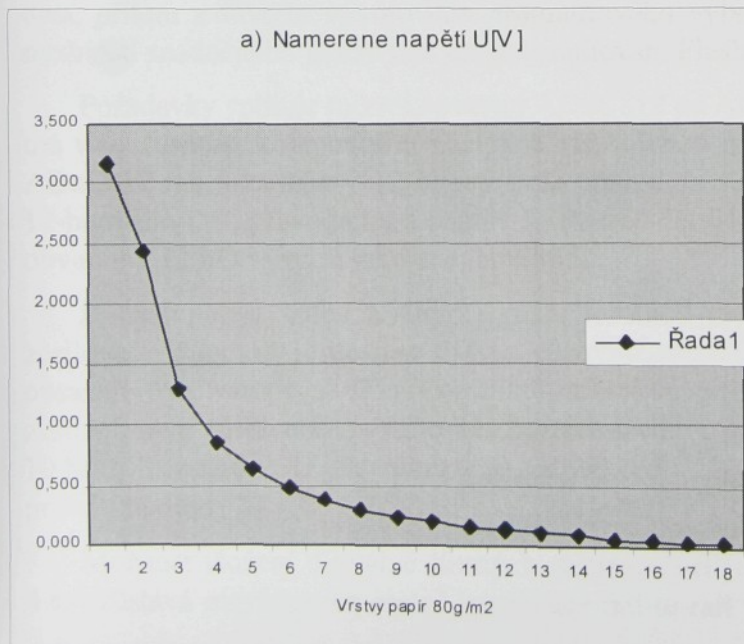
## Měření

Měření byla limitována nedostatečným zatemněním místností během slunečních dnů.

Grafické reprezentace naměřených dat je zobrazena na obr. Čára (1) odpovídá hodnotám čtených z A/D převodníku při rozsvícené IR diodě. Spodní čára (3) reprezentuje měřená data při zhasnuté IR diodě. Z rozdílu, jak ukazuje (2), lze zjistit optickou hustotu měřeného materiálu  $D$ .



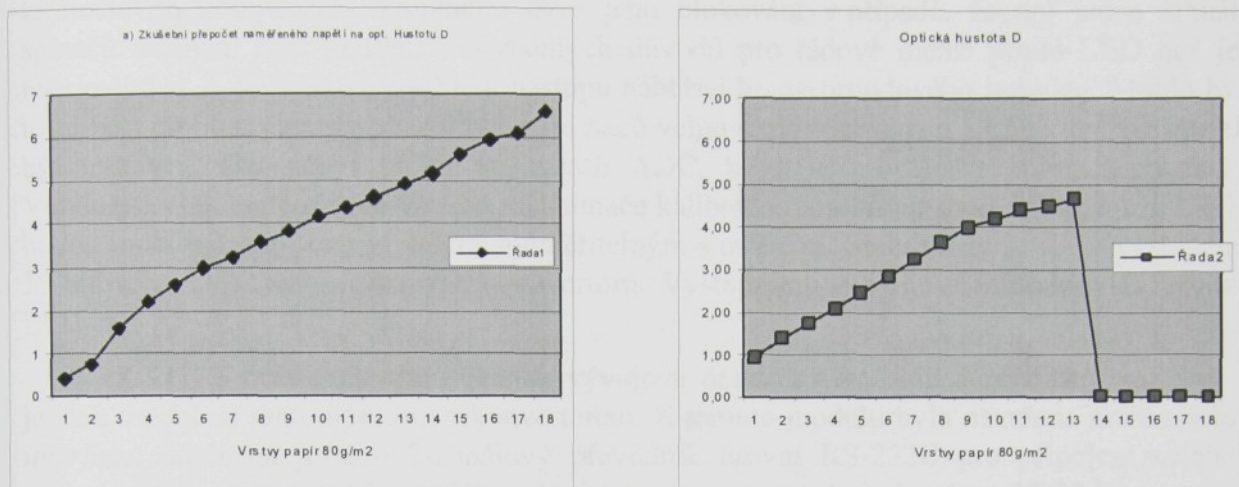
V tabulce jsou uvedeny výsledky měření s definovaným (na rozdíl od rouna) materiélem –



| Vrstvy papír | Optická hustota $D$ |      |          |
|--------------|---------------------|------|----------|
|              | $U[V]$              | $D$  | přepočet |
| 1            | 3,170               | 0,94 | 0,391841 |
| 2            | 2,429               | 1,41 | 0,750299 |
| 3            | 1,295               | 1,76 | 1,597088 |
| 4            | 0,849               | 2,11 | 2,16551  |
| 5            | 0,632               | 2,46 | 2,562901 |
| 6            | 0,470               | 2,83 | 2,961621 |
| 7            | 0,380               | 3,25 | 3,247795 |
| 8            | 0,300               | 3,63 | 3,566048 |
| 9            | 0,245               | 4,00 | 3,838709 |
| 10           | 0,192               | 4,20 | 4,166891 |
| 11           | 0,165               | 4,40 | 4,370924 |
| 12           | 0,135               | 4,50 | 4,64109  |
| 13           | 0,110               | 4,66 | 4,916807 |
| 14           | 0,090               | 0,00 | 5,186973 |
| 15           | 0,066               | 0,00 | 5,604538 |
| 16           | 0,050               | 0,00 | 5,978317 |
| 17           | 0,046               | 0,00 | 6,090575 |
| 18           | 0,032               | 0,00 | 6,579159 |

papírem.

Na následujících obrázcích je porovnána hodnota  $D$ , vypočítaná z měření, s hodnotou zjištěnou na denzitometru X-RITE model 301, který však měří jen do  $D_{\max} = 4,50$ .



### Nové varianta

Následující důvody vedly k návrhu nového interface :

- nezanedbatelný šum a jen 10-bitové rozlišení A/D převodníku
- požadavek na plynulejší volbu proudu LED
- potřeba rezervy v zesílení signálu fotodiody
- použitý mikropočítač není vhodný pro finální řešení
- hardwareové i softwareové zdroje mikropočítače (pravidelné přerušení, délka kódu) značně vytíženy komunikací po USB, odladěný program by musel být pro finální řešení upravován
- nevhodně řešený zdroj proudu LED

Hledání vhodného typu A/D převodníku (12 bitů, ca 100 kS/s, 8 vstupů, vestavěný PGA) bylo neúspěšné. Pak se již nabízelo použít mikrořadič s vestavěným plnohodnotným A/D převodníkem, nejlépe též s D/A převodníkem a nezbytně s pamětí EEPROM pro kalibrační data, přitom z důvodu vývojového programového vybavení s jádrem rodiny 51 a s nějakou možností snadnějšího ladění než jen programování Flash paměti kódů.

Požadavky splňuje mikrokonvertor ADuC812 od Analog Devices s jádrem 8052, který již má v současnosti kompatibilní nástupce s rozšířenou pamětí a 6-násobnou rychlostí. Obvod ADuC812 má 8-kanálový 12-bitový A/D převodník s rychlosť konverze 200 kS/s, 2 kanály 12-bitového D/A převodníku a paměť EEPROM dat 640 B. Paměť kódů je 8 kB, dat 256 B a obvod má 32 I/O vývodů jako standard 8052.

Dvoustupňová volba zesílení signálu fotodiod je realizována tak, že signál z každého zesilovače fotodiod je zesílen dvěma různými zesilovači druhého stupně, jejichž výstupy obsazují dva vstupy A/D převodníku mikrokonvertoru. Volbou tohoto vstupu se zvolí zesílení, nyní nastaveno 2× nebo 8×. Zpětnovazební odporník zesilovače fotodiody byl snížen na 10 MΩ. Rozsahu A/D převodníku (0...4095) tedy odpovídá pro citlivější rozsah zesilovače proud fotodiody 31 nA.

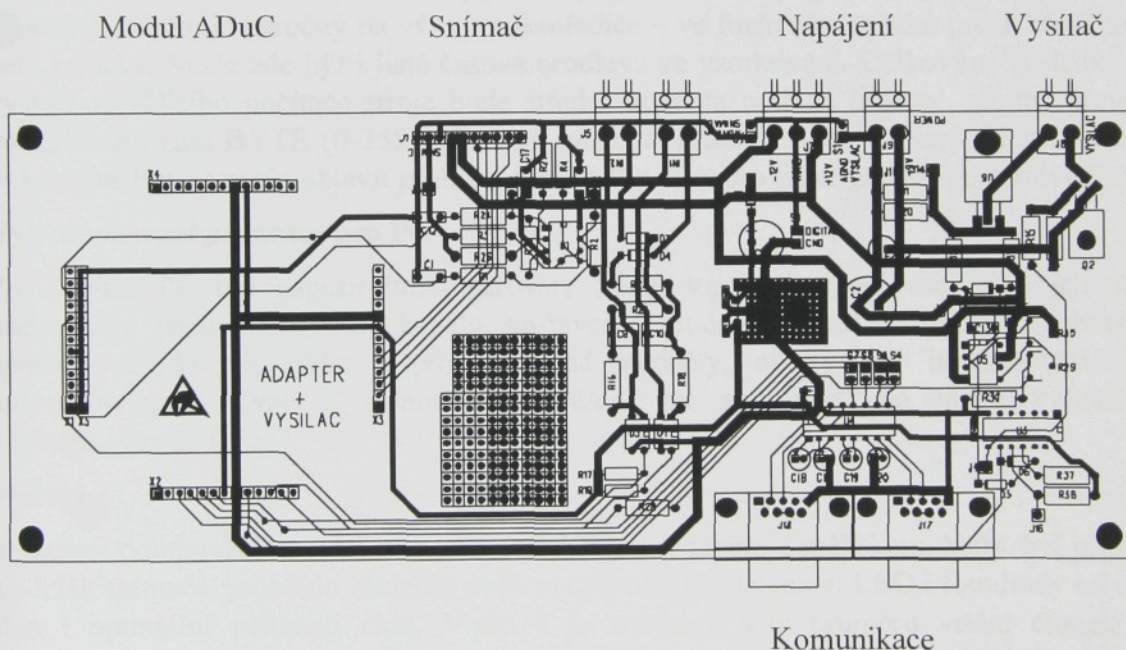
Možnost vložení digitálně řízených zesilovačů (PGA; bohužel v tomto uspořádání nutné 4 ks) zůstává otevřená. Operační zesilovače rail-to-rail s napájením 5 V jsou na tomto místě

nutné také jako ochrana vstupů mikrokonvertoru před maximálním výstupním napětím zesilovače fotodiod, který je napájen  $\pm 12$  V.

Stabilizátor proudu LED je jednodušší, s neinvertujícím zapojením OZ, což usnadňuje kmitočtovou kompenzaci. Doplňeno bylo jeho blokování v případě, že ani jeden signál spínačů napájení není aktivní. Z neznámých důvodů pro řádově menší proud LED než je maximální 1 A dochází ke zpoždění nástupu náběžné hrany proudového impulzu. Mohlo by to přinést problémy pouze při kalibraci snímačů velmi malým proudem LED, který by musel být nastaven, aby nebyl překročen rozsah ADC, když je prostor ve snímači prázdný. Vhodnější však bude zřejmě vkládat do snímače kalibrační polopropustnou desku, takže LED budou moci být napájeny proudem souměřitelným s měřicím. Stabilizátor je řízen výstupem 12-bitového D/A převodníku mikrokonvertoru. Výstupnímu rozsahu 2,5 V odpovídá proud LED ca 1 A.

Z VUTS byla poskytnuta jednak vývojová deska s ADuC812 a příslušný software, jednak modul se samotným mikrokonvertorem. K tomuto modulu byla navržena nová *deska interface*, doplněná ještě o 2-kanálový převodník úrovní RS-232C pro připojení celého zařízení k PC a 2 galvanicky oddělené logické vstupy s rozsahem log.1 ca 12-24 V pro příp. připojení synchronizace pohonu souřadnicového stolu (viz závěr).

Deska plošných spojů pro 1-kanálovou variantu je na obr.



### Prostředky pro vývoj SW desky optosenzoru

Pro tvorbu programů v jazyce C a v asembleru a překlad do formátu INTEL-HEX vhodného pro přenos do mikrokonvertoru ADuC812 je využíváno standardní integrované vývojové prostředí uVision 2 (Keil).

Pro počáteční ladění některých sekvencí bez aplikační desky byl použit simulátor ADSim. Pro vlastní ladění aplikačního programu byl ověřen ladící prostředek ADuC Debugger ve spojení s vývojovou deskou (modulem) EVAL-ADuC812QS. V počáteční fázi ladění je

nezbytné pro ladící účely vyhradit vestavěný sériový kanál mikrokonvertoru ADuC812, proto pro vyvíjenou aplikaci je vytvořen sériový kanál pro přenos informací z aplikace programově. V pokročilém stádiu ladění nebude debugger nezbytný, vestavěný sériový kanál bude plně k dispozici aplikačním informacím. Program bude do programové paměti mikrokonvertoru ADuC812 přenesen pomocí WDS (Windows Serial Downloader), jehož funkčnost byla ověřena jednoduchou aplikací.

### Aplikační program desky optosenzoru

Navržený aplikační program obsahuje algoritmy pro přepínání a řízení pulsů (pulsy jsou generovány po 1 ms s délkou 100  $\mu$ s, jeden puls je společný pro 8 sekcí, tj. perioda jednoho pulsu jsou 4 ms, viz výše), přepínání a snímání měřicích míst (čtyři osmivstupové analogové multiplexory jsou připojeny na čtyři AD kanály mikrokonvertoru ADuC812), vyhodnocení naměřených údajů a ovládání sériového kanálu pro přenos vyhodnocených dat. Z PC jsou po sériovém kanálu nastavovány vybrané parametry (proud LED, zesílení, příp. perioda vzorkování).

Předpokládá se řízení proudu LED i zesílení signálu fotodiod (zatím jen ve 2 stupních) společné pro všechny kanály, přesto je nutno řešit limitaci hodnot optické hustoty v obou mezích (může k ní dojít na jednom nebo několika kanálech). Odečet signálu pozadí (okolního osvětlení), individuální kalibrace kanálu i celková kalibrace citlivosti podle signálu 32. kanálu se budou provádět jako celočíselné výpočty v rozsahu WORD (16 b) – výsledky násobení LONG WORD (32 b) se oříznou. Výpočet optické hustoty (logaritmus) ve formátu FLOAT v každém kanálu je náročný na výkon mikrořadiče – ve funkčním vzorku pro 1 kanál to však není kritické. Může zde být i jistá časová prodleva ve vzorkování. Celkovým výsledkem pro výstup do řídicího počítače stroje bude střední hodnota optické hustoty, zřejmě převedená pouze do rozsahu BYTE (0-255), nicméně možnost přenosu hodnot všech 31 snímačů není vyloučena, byť se může objevit problém nedostatku času pro jejich přenos po sériové lince.

### Vyhodnocovací program pro PC

Pro počítač PC byl napsán řídicí software (okno v příl. 1), který umožňuje jednoduché nastavování parametrů (volba kanálu, nastavení proudu do vysílací diody) a zobrazování naměřených dat, zpočátku i pro příslušné výpočty, než budou implementovány do mikrokonvertoru. Data z jednotlivých měření lze zapisovat pro jejich vyhodnocení v tabulkovém editoru.

### Měření

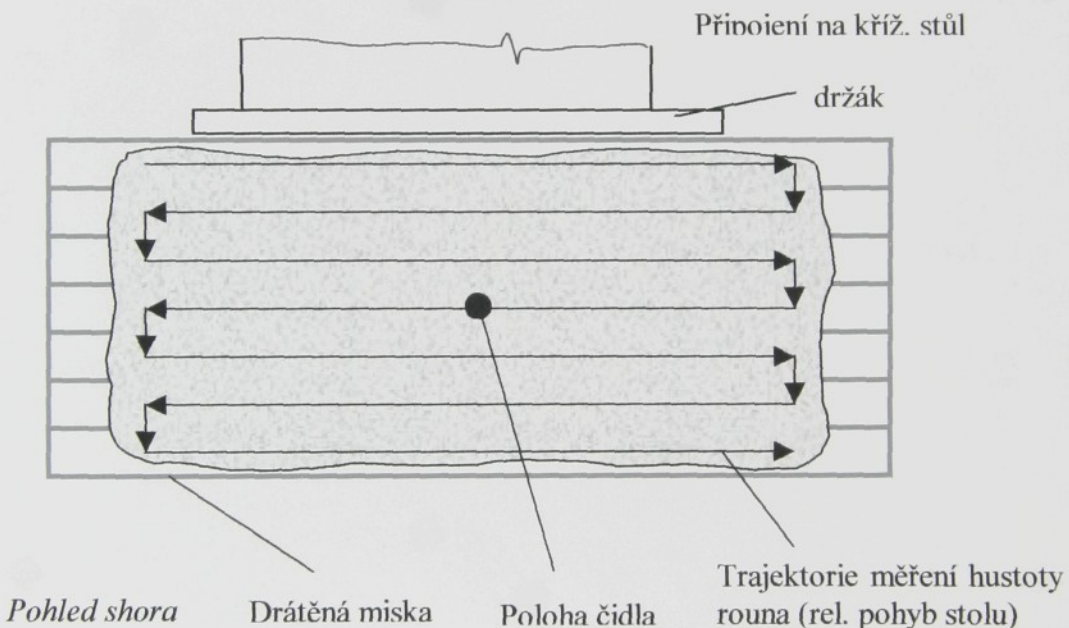
S pomocí polohovacího mechanismu s pohybovým šroubem a měřítkem, který byl připevněn na držák snímače, proběhlo základní ověření optimální vzdálenosti LED i fotodiody od roviny clon i optimální velikosti clon. V příl. 4 je zobrazen vliv průměru vrtání clonek a na následujících listech i vlivu okolního osvětlení. Jako optimální vychází clonka s průměrem vrtání 3,2 mm na přijímací straně, kde je ještě relativně velký odstup signálu od pozadí, a minimalizovaný vliv polohy měřeného objektu mezi přijímací a vysílací diodou. Dle těchto poznatků byla vyrobena upravená přijímací část čidla rouna (příl. 3 – obr.2). Nutno upozornit, že měření proběhlo na listu papíru (reprodukčnost), který se chová jako matnice, tedy jinak než rouno.

VÚTS připravil upevnění přípravku snímače na stojan souřadnicového křížového stolu PPJ-1 (VUKOV Prešov, r.v. 1985). Pracovní rozsah translačních jednotek obou os je 300 mm s minimální velikostí kroku 0,1 mm. Řídicí systém stolu umožňuje podle programu uloženého v zálohované paměti vykonávat pohyby jednotlivých posuvných jednotek v dané časové posloupnosti. Dále je schopen současně ovládat uživatelských výstupů a sledování

jednotky. Při automatickém způsobu řízení stroje jsou možné tyto režimy: programování, inicializace, indexování, krování. Poslední dva režimy pak dále je možné zařadit i v cyklu – tedy do konečné posloupnosti dílčích kroků. Těchto kroků pro jednotlivé osy může být max. 3000. Při inicializaci lze provést prvotní navedení do předem nastavené tzv. základní polohy. Pro případné rozšíření systému je možné využít 12 vstupních a 12 výstupních bitů. Dále je možné ze stroje použít rozšířené výstupy, pomocí nichž je možné zjistit stav systému a provést synchronizaci s jiným zařízením, např. dalším automatem.

Na mechanický stůl je připevněn držák s drátěnou miskou, na kterou lze umístit vzorek materiálu rouna pro měření optické hustoty. Model snímače rouna je pevně spojen s podstavou křížového stolu (příl. 3 – obr. 3). Bude tak moci být ověřena reproducibilnost údajů, neboť vzorek materiálu při posuvu nebude deformován, takže se jeho vlastnosti nebudou měnit. K tomu dochází při průtahu přes odtahovací válce na mykacím stroji, kde již opakovaně tento vzorek použít nelze.

Pro toto měření je řídící systém používán v režimu automatického krování. Naprogramovaná trajektorie relativního pohybu drátěné misky s rounem je znázorněna na následujícím obrázku. Rouno je opakovaně proměřováno a hodnoty zapisovány prostřednictvím vytvořeného řídícího softwaru na počítači PC k dalšímu zpracování.



### Výhled dalšího postupu

Bude dokončena optimalizace uspořádání optické cesty mezi LED a fotodiodou jak z hlediska minimalizace vlivu okolního osvětlení, tak z hlediska dostatečného signálu. Ačkoliv se rouno bude na stroji pohybovat v kontaktu s jednou vnitřní plochou snímače, zkoumá se i vliv jeho polohy mezi oběma vnitřními plochami. Další měření ukáží vliv přiměřeného stlačení rouna, vyvolaného přitlačnou skleněnou deskou, stavitelnou alespoň stupňovitě nade dnem misky.

O použitelnosti metody zřejmě nepůjde rozhodnout pouze na základě výsledků získaných na funkčním vzorku. V r. 2004 se předpokládá návrh mechanického řešení umístění 31 páru snímačů na celou šířku stroje a 1 kalibračního páru pro kompenzaci vlivu teploty a stárnutí optoelektronických součástek. Kritériem použitelnosti bude porovnání textilní technolo-

O použitelnosti metody zřejmě nepůjde rozhodnout pouze na základě výsledků získaných na funkčním vzorku. V r. 2004 se předpokládá návrh mechanického řešení umístění 31 párů snímačů na celou šířku stroje a 1 kalibračního páru pro kompenzaci vlivu teploty a stárnutí optoelektronických součástek. Kritériem použitelnosti bude porovnání textilně technologických parametrů pramene bez a se zpětnovazební regulací plošné hustoty rouna, řízené vyvíjeným snímačem.

U tohoto prototypu, jenž je blokově zobrazen v příloze č. 5, se předpokládá montáž desek s fotodiодami a desek s LED do příčných kanálů na stroji. Konkrétní mechanické řešení bude záviset na zjištěných vzdálenostech mezi prvky a clonou. Clony by měly být chráněny sklem stejně jako u funkčního vzorku, z důvodu zamezení zaprášení snímačů a tedy negativního vlivu na kvalitu měření, a celý systém by měl být co nejlépe chráněn před dopadem okolního světla.

Desky, osazené vždy 8 kusy prvků (v případě snímače včetně multiplexeru a operačního zesilovače), budou spojeny konektory. Ostatní elektronika může být umístěna v oddělené skřínce. S daným mikrokonvertorem zřejmě nebude dosažena požadovaná vzdálenost na pohybujícím se rounu, to však nemusí být pro ověření na závadu. Finálně lze přejít na kompatibilní, 6x rychlejší typ.

Adekvátně bude rozšířen program mikrokontroléru i upraven vyhodnocovací program na PC.

## **Seznam příloh**

**Příloha 1 Aplikace na PC pro řízení elektroniky čidla**

**Příloha 2 Elektronika adaptéru a vysílače a přijímací části**

Obr.1 Osazená deska plošného spoje adaptéru

Obr.2 Blok snímače

**Příloha 3 Zkušební model pro praktické zkoušky**

Obr.1 Zkušební model

Obr.2 Nové provedení měřící sondy

Obr.3 Fotografie zkušebního modelu

**Příloha 4 Základní měření clonek**

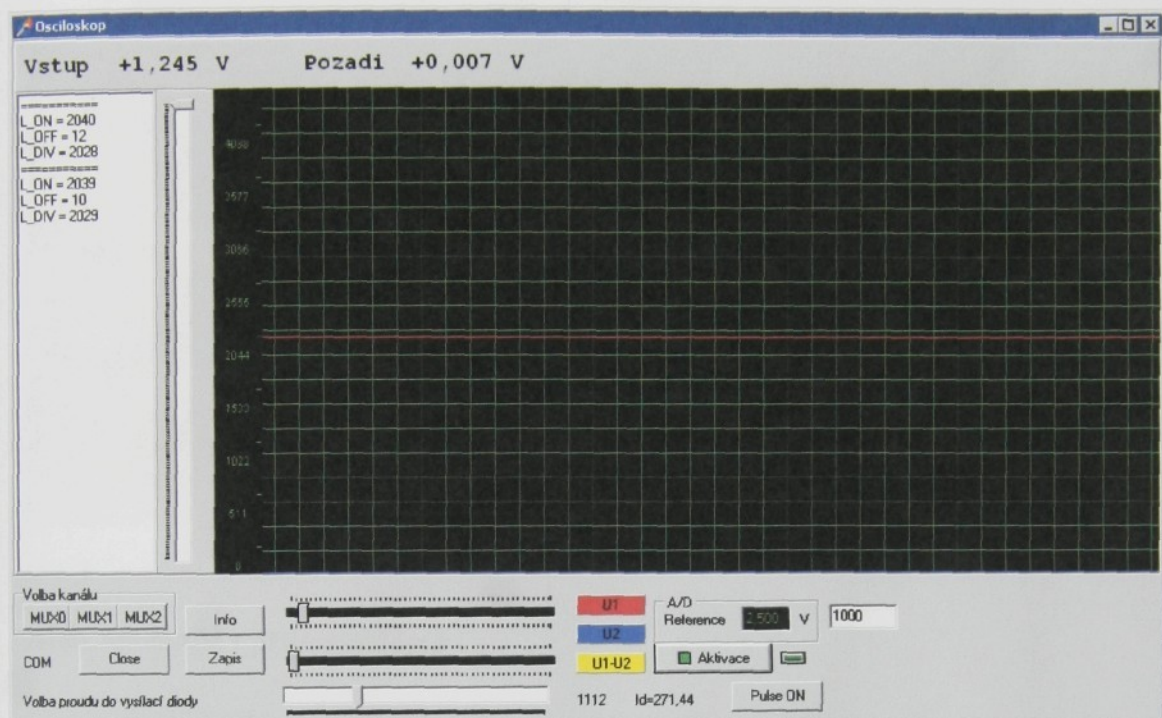
Měření vlivu polohy objektu

Měření vlivu clonek a okolního osvětlení

**Příloha 5 Blokové schéma elektroniky optického snímání plošné hustoty rouna**

## Příloha 1

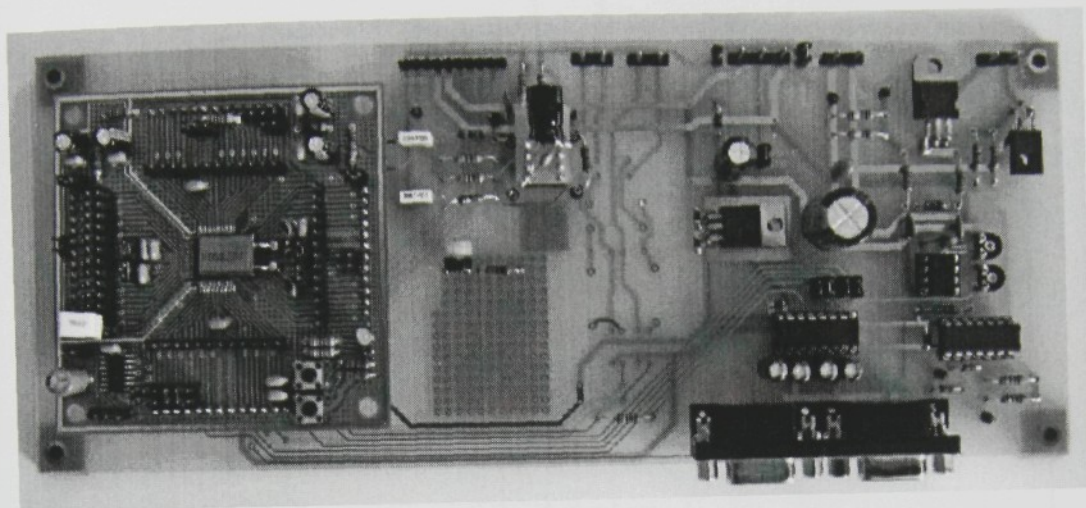
### Aplikace na PC pro řízení elektroniky čidla



Obr. 1

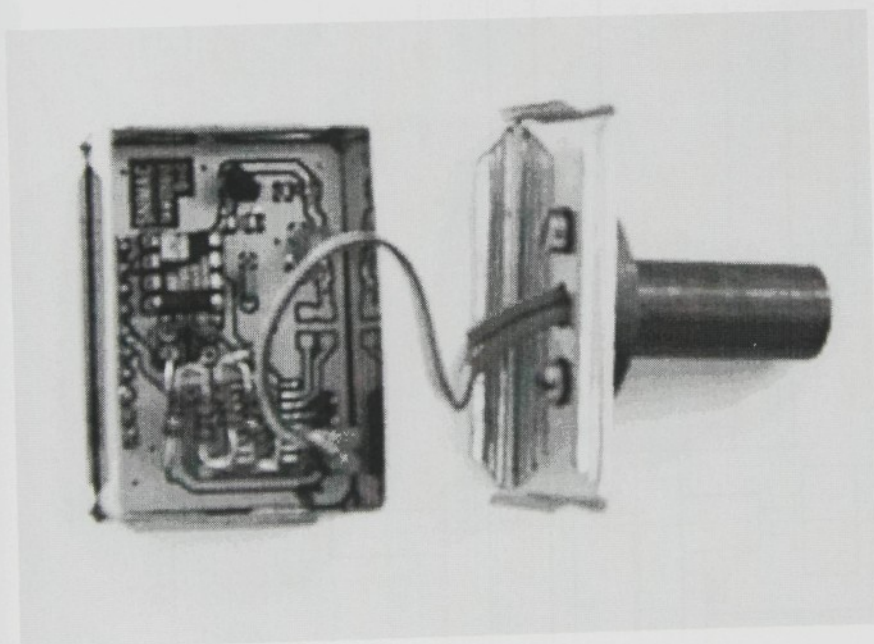
## Příloha 2

### Elektronika adaptéru a vysílače



Obr. 1

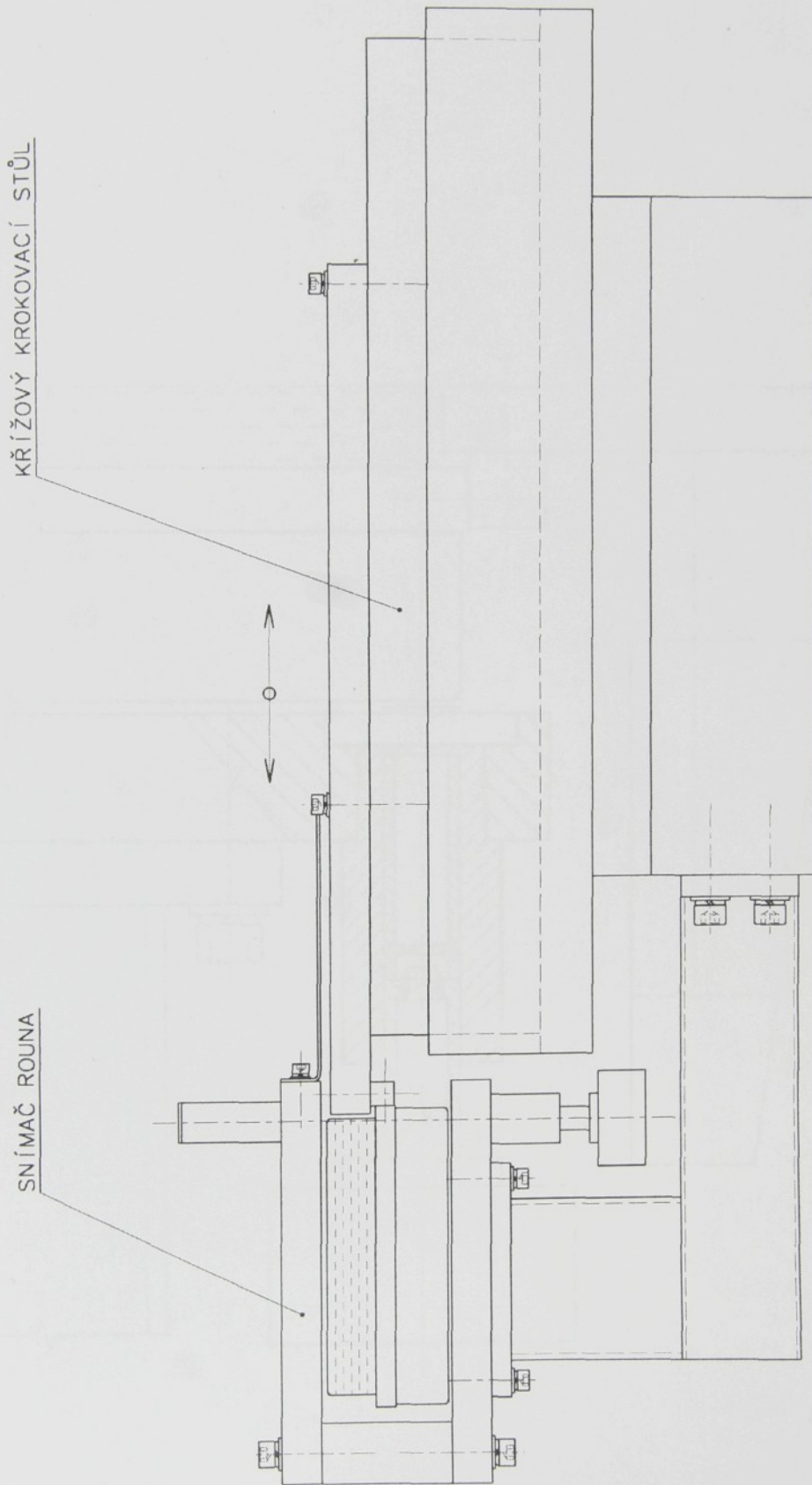
Blok snímače ( přijímací část )



Obr. 2

### Příloha 3

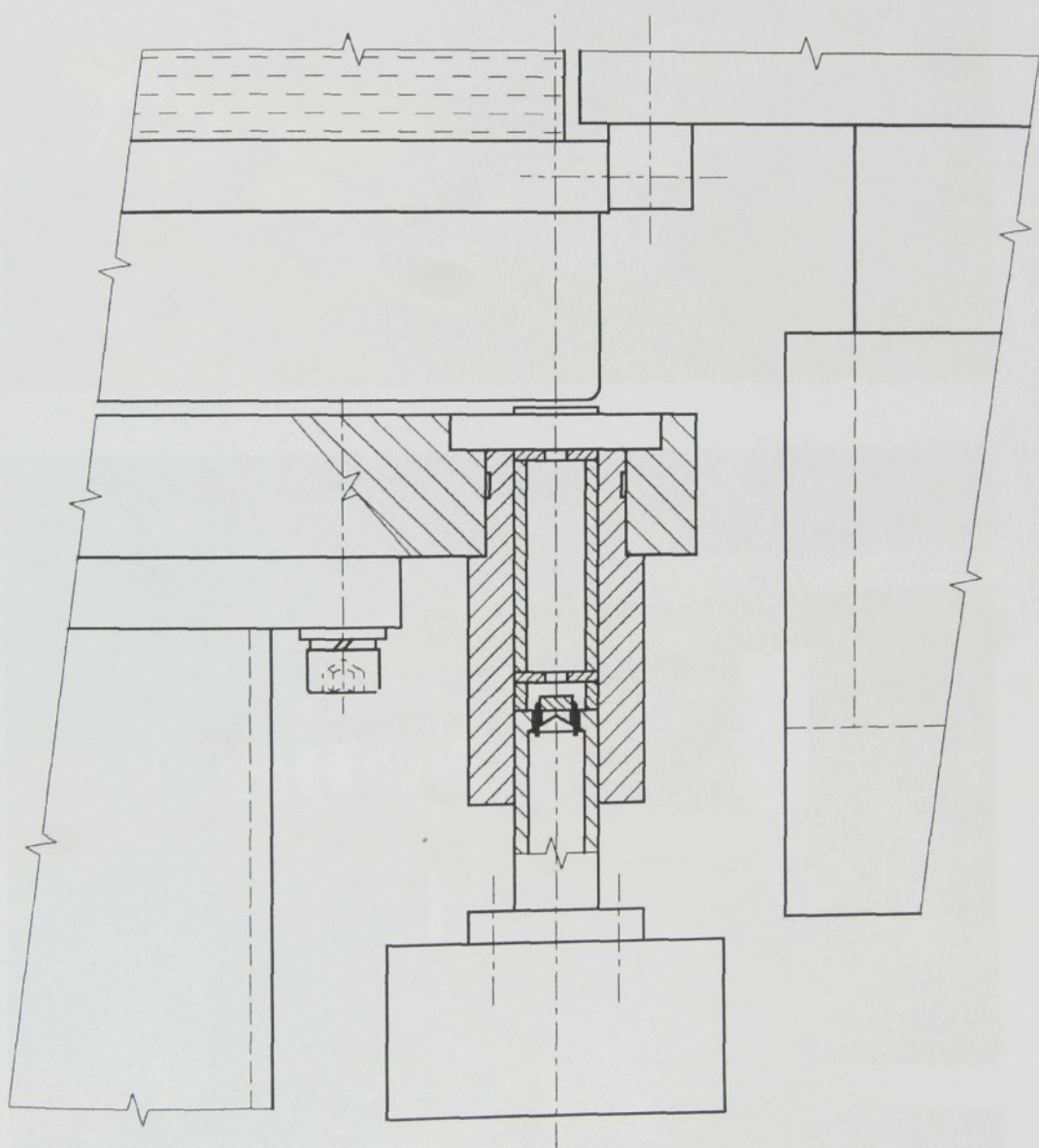
ZKUŠEBNÍ MODEL



Obr. 1

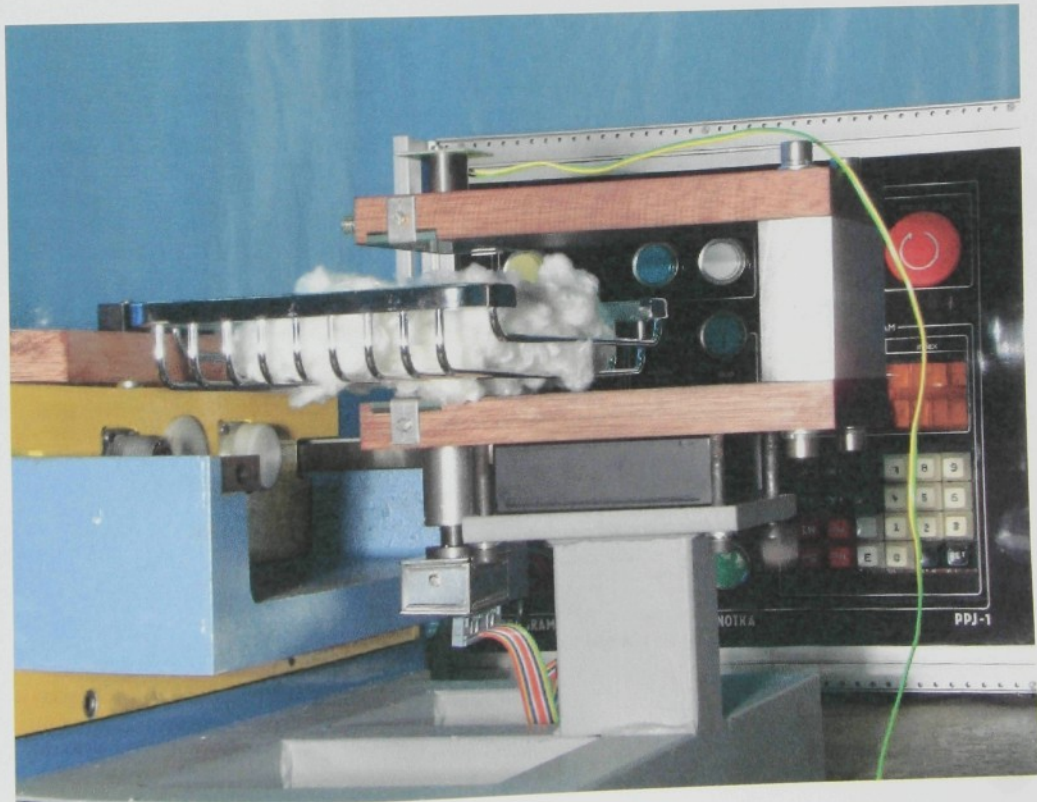
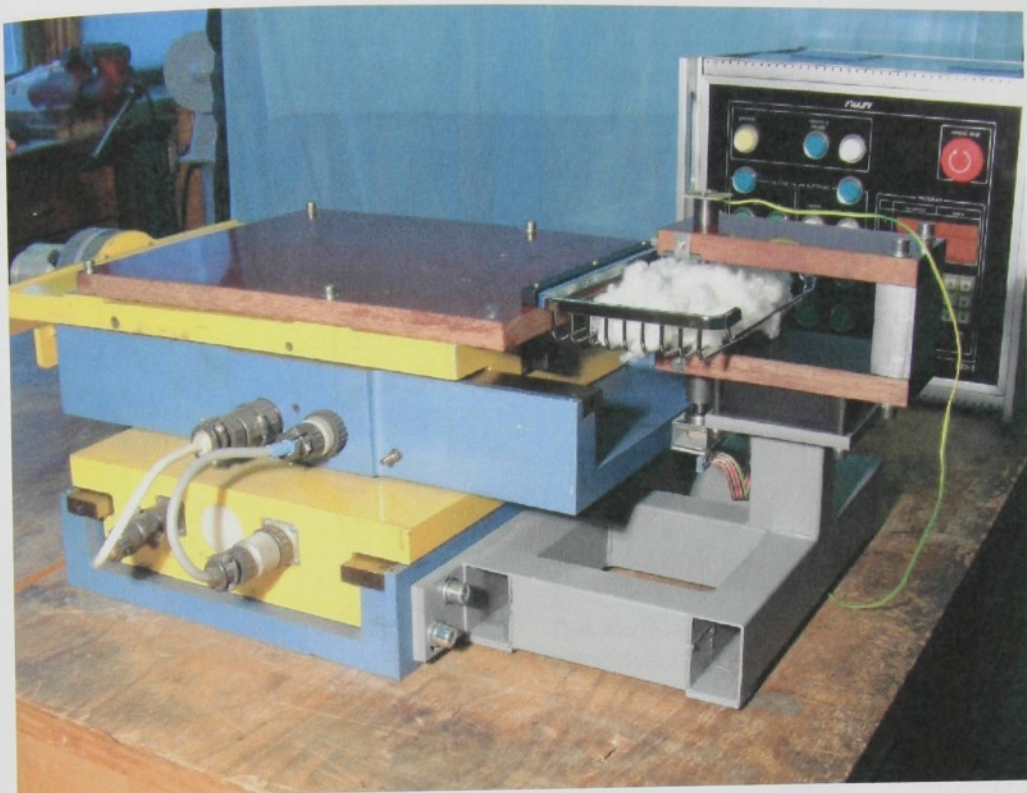
# SONDA

NOVÉ PROVEDENÍ



Obr.2

Zkušební model optického snímače hmotnosti rouna



Obr.3

## Základní měření clonek

Datum měření 28.10.2003

| průmér<br>clonky | <b>Clona 1</b><br>0,5mm | <b>Clona 2</b><br>0,8 mm | <b>Clona 3</b><br>1,0 mm | <b>Clona 4</b><br>1,5mm |
|------------------|-------------------------|--------------------------|--------------------------|-------------------------|
|                  | Id1 := 433.38mA         | Id2 := 204.8mA           | Id3 := 92.03mA           | Id4 := 66.64mA          |

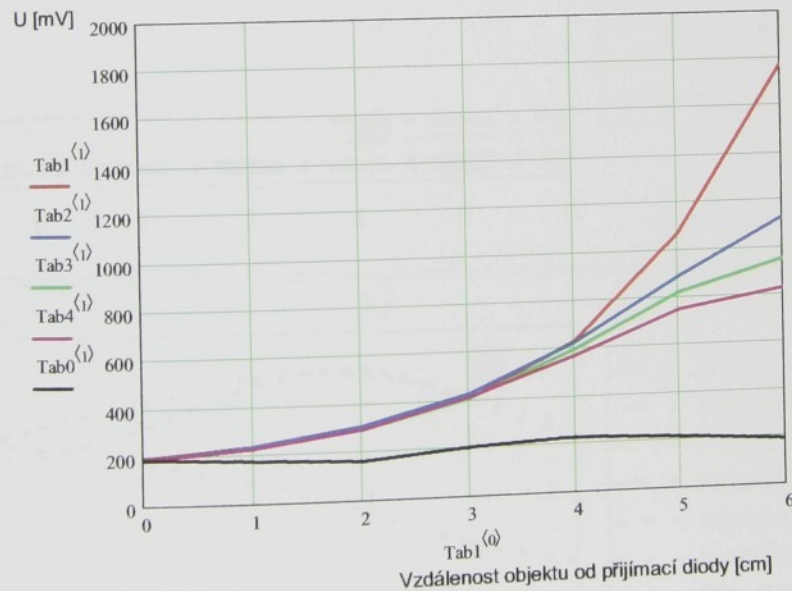
$$\text{Tab1} = \begin{pmatrix} 0 & 63 \\ 1 & 76 \\ 2 & 98 \\ 3 & 132 \\ 4 & 205 \\ 5 & 348 \\ 6 & 580 \end{pmatrix} \quad \text{Tab2} = \begin{pmatrix} 0 & 188 \\ 1 & 232 \\ 2 & 308 \\ 3 & 426 \\ 4 & 619 \\ 5 & 887 \\ 6 & 1129 \end{pmatrix} \quad \text{Tab3} = \begin{pmatrix} 0 & 188 \\ 1 & 224 \\ 2 & 294 \\ 3 & 406 \\ 4 & 598 \\ 5 & 816 \\ 6 & 949 \end{pmatrix} \quad \text{Tab4} = \begin{pmatrix} 0 & 188 \\ 1 & 226 \\ 2 & 295 \\ 3 & 408 \\ 4 & 571 \\ 5 & 749 \\ 6 & 827 \end{pmatrix}$$

**Bez clony**

$$\text{Id1} := 66.64\text{mA}$$

$$\text{Tab0} = \begin{pmatrix} 0 & 2875 \\ 1 & 2663 \\ 2 & 2501 \\ 3 & 3061 \\ 4 & 3451 \\ 5 & 3305 \\ 6 & 2854 \end{pmatrix}$$

Dekadické hodnoty z 12bit. ADC  
převodníku

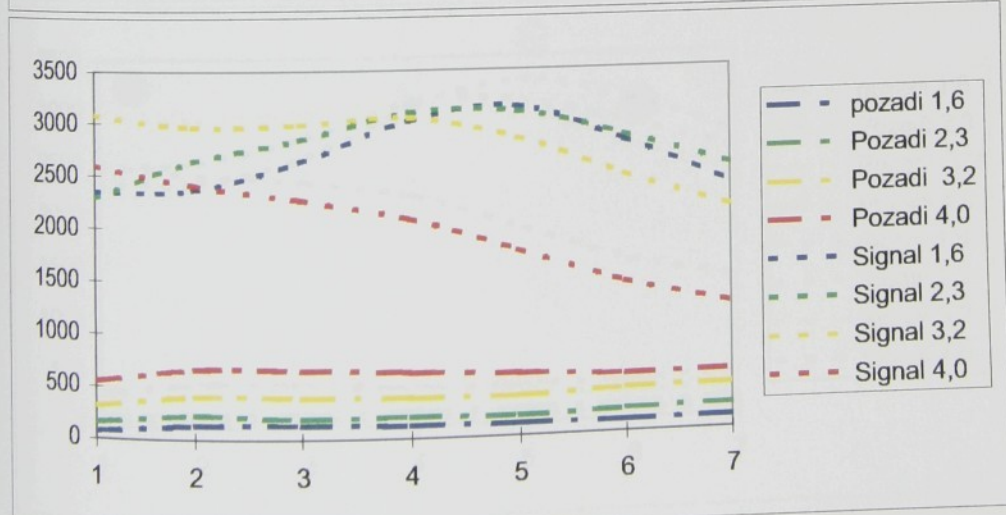
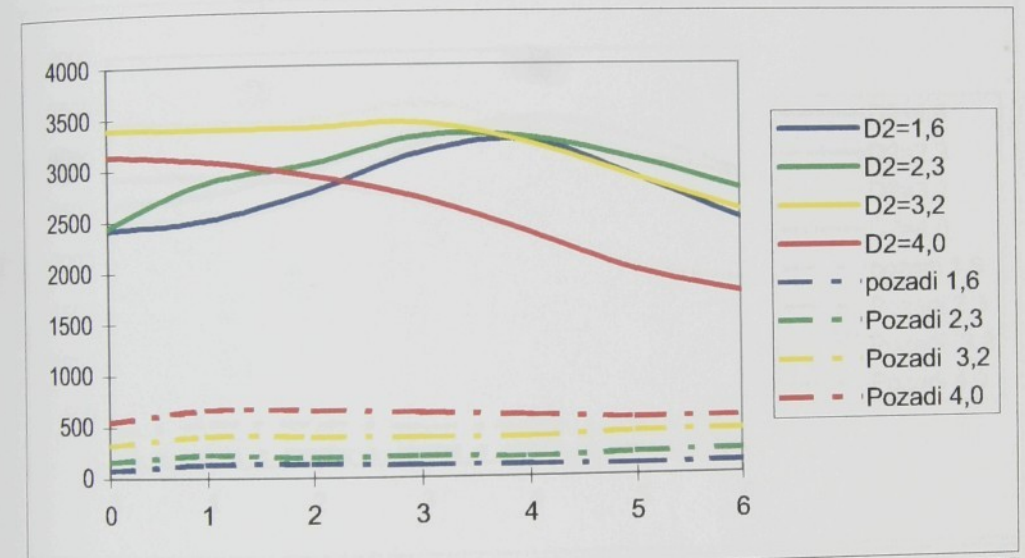


Obr. 1

Clonka vysílač D1[mm]

1,6

| Clonka<br>přijímač<br>D2 [mm] | Poloha objektu (vzdálenost od přijímací diody) L[cm] |      |      |      |      |      |      |
|-------------------------------|--|------|------|------|------|------|------|
|                               | 0  | 1    | 2    | 3    | 4    | 5    | 6    |
| 1,6                           | 2415   | 2501 | 2769 | 3142 | 3260 | 2905 | 2482 |
|                               | 73   | 134  | 136  | 121  | 115  | 105  | 117  |
|                               | 2342   | 2367 | 2633 | 3021 | 3145 | 2800 | 2365 |
| 2,3                           | 2442   | 2868 | 3043 | 3302 | 3287 | 3073 | 2776 |
|                               | 157  | 228  | 198  | 205  | 188  | 219  | 233  |
|                               | 2285   | 2640 | 2845 | 3097 | 3099 | 2854 | 2543 |
| 3,2                           | 3399   | 3386 | 3397 | 3439 | 3236 | 2897 | 2568 |
|                               | 317  | 412  | 404  | 390  | 386  | 423  | 430  |
|                               | 3082   | 2974 | 2993 | 3049 | 2850 | 2474 | 2138 |
| 4                             | 3142   | 3075 | 2931 | 2711 | 2366 | 1992 | 1764 |
|                               | 545  | 663  | 657  | 628  | 594  | 555  | 559  |
|                               | 2597   | 2412 | 2274 | 2083 | 1772 | 1437 | 1205 |

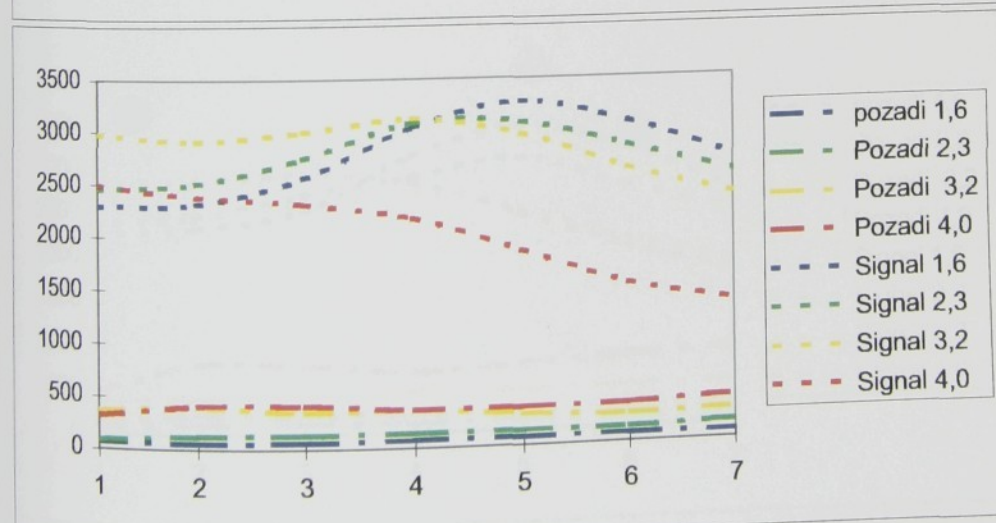
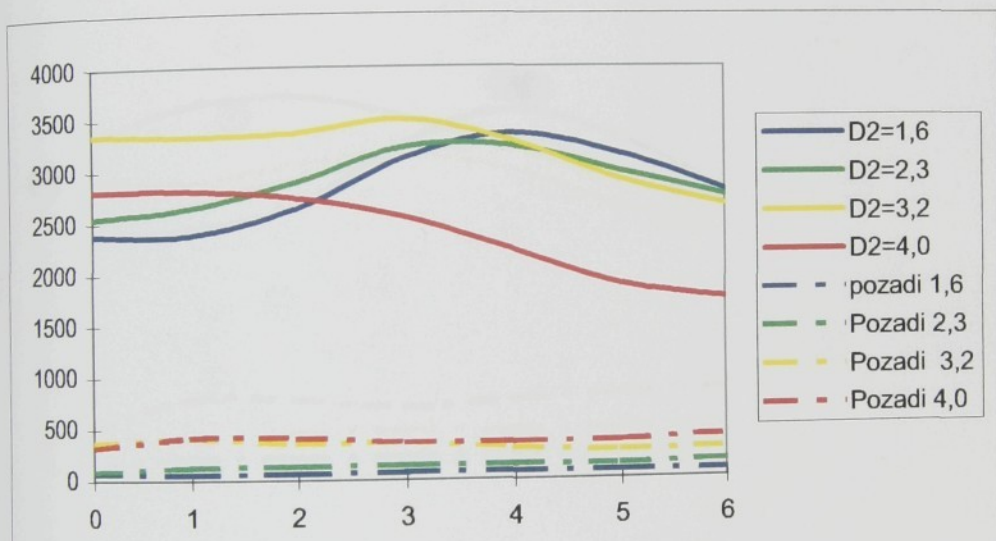


# Měření destiček s clonkami

Clonka vysílač D1[mm]

2,3

| Clonka<br>přijímač<br>D2 [mm] | Poloha objektu (vzdálenost od přijímací diody) L[cm] |      |      |      |      |      |      |
|-------------------------------|--|------|------|------|------|------|------|
|                               | 0  | 1    | 2    | 3    | 4    | 5    | 6    |
| 1,6                           | 2373   | 2376 | 2628 | 3112 | 3347 | 3151 | 2796 |
|                               | 77   | 55   | 65   | 75   | 75   | 78   | 74   |
|                               | 2296   | 2321 | 2563 | 3037 | 3272 | 3073 | 2722 |
| 2,3                           | 2542   | 2638 | 2882 | 3220 | 3225 | 2982 | 2740 |
|                               | 87   | 125  | 134  | 137  | 143  | 140  | 170  |
|                               | 2455   | 2513 | 2748 | 3083 | 3082 | 2842 | 2570 |
| 3,2                           | 3351   | 3329 | 3361 | 3489 | 3277 | 2901 | 2652 |
|                               | 368  | 407  | 355  | 365  | 307  | 274  | 296  |
|                               | 2983   | 2922 | 3006 | 3124 | 2970 | 2627 | 2356 |
| 4                             | 2810   | 2805 | 2733 | 2542 | 2220 | 1889 | 1743 |
|                               | 315  | 413  | 411  | 364  | 363  | 369  | 414  |
|                               | 2495   | 2392 | 2322 | 2178 | 1857 | 1520 | 1329 |

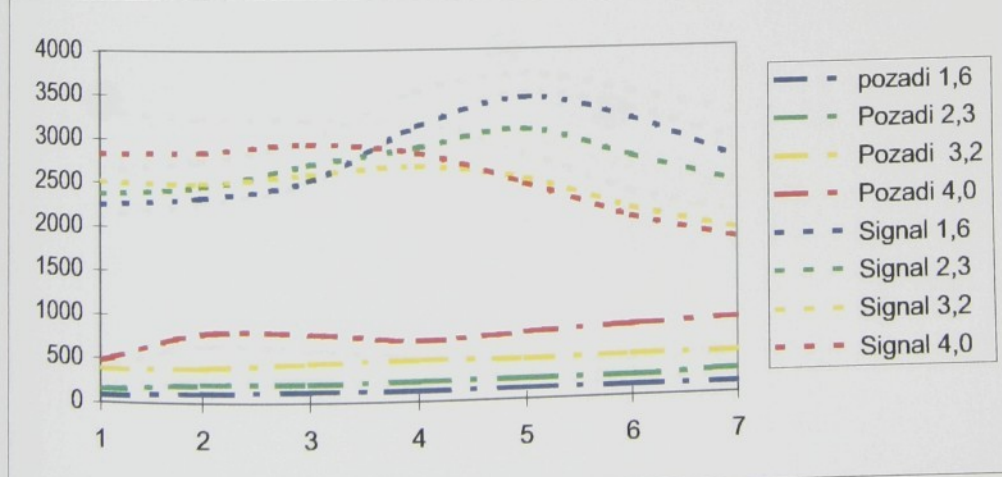
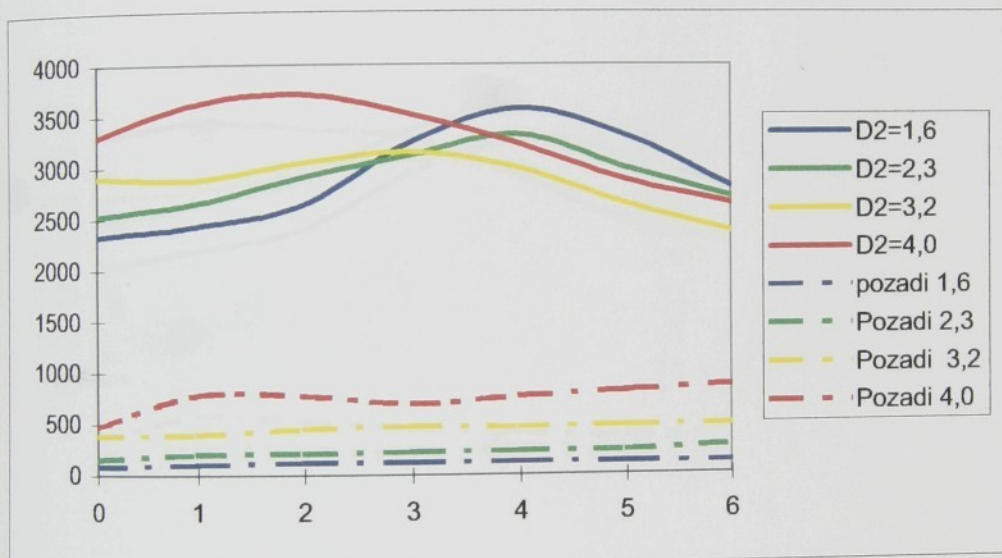


Měření destiček s clonkami

Clonka vysílač D1[mm]

3,2

| Clonka<br>přijímač<br>D2 [mm] | Poloha objektu (vzdálenost od přijímací diody) L[cm] |      |      |      |      |      |      |
|-------------------------------|--|------|------|------|------|------|------|
|                               | 0  | 1    | 2    | 3    | 4    | 5    | 6    |
| 1,6                           | 2327   | 2424 | 2635 | 3243 | 3567 | 3303 | 2809 |
|                               | 81   | 105  | 121  | 120  | 124  | 119  | 117  |
|                               | 2246   | 2319 | 2514 | 3123 | 3443 | 3184 | 2692 |
| 2,3                           | 2523   | 2649 | 2903 | 3112 | 3315 | 2988 | 2700 |
|                               | 152  | 203  | 208  | 225  | 229  | 234  | 277  |
|                               | 2371   | 2446 | 2695 | 2887 | 3086 | 2754 | 2423 |
| 3,2                           | 2900   | 2881 | 3041 | 3147 | 2987 | 2636 | 2369 |
|                               | 383  | 397  | 450  | 473  | 463  | 476  | 482  |
|                               | 2517   | 2484 | 2591 | 2674 | 2524 | 2160 | 1887 |
| 4                             | 3296   | 3620 | 3710 | 3514 | 3223 | 2871 | 2641 |
|                               | 471  | 779  | 775  | 690  | 762  | 815  | 865  |
|                               | 2825   | 2841 | 2935 | 2824 | 2461 | 2056 | 1776 |

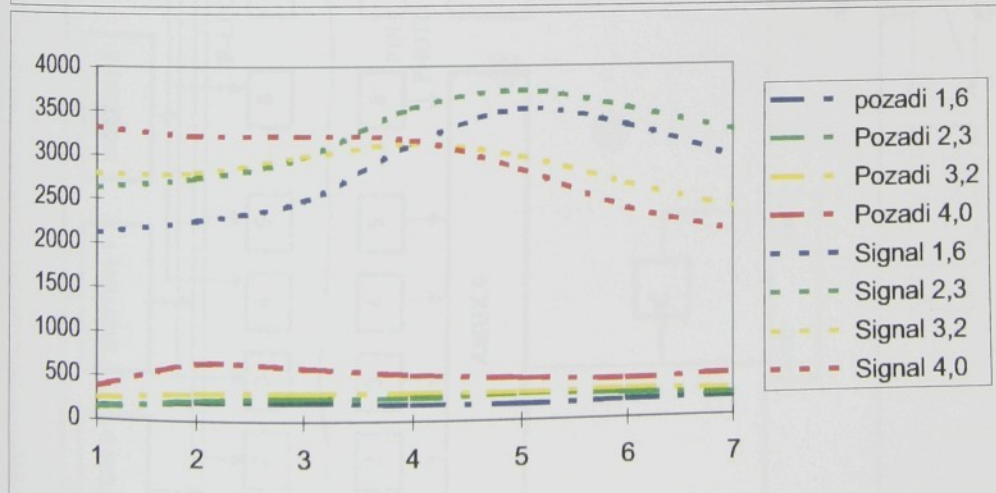
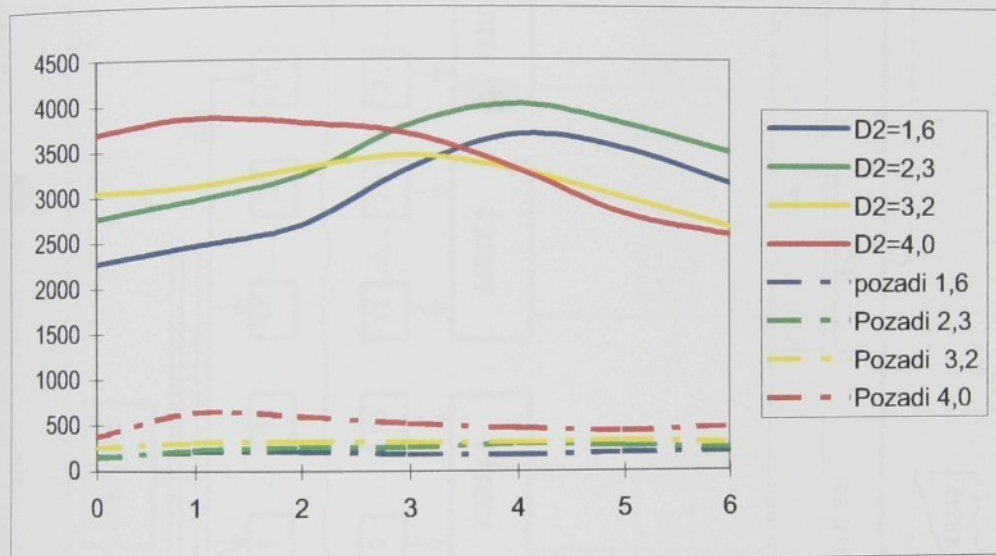


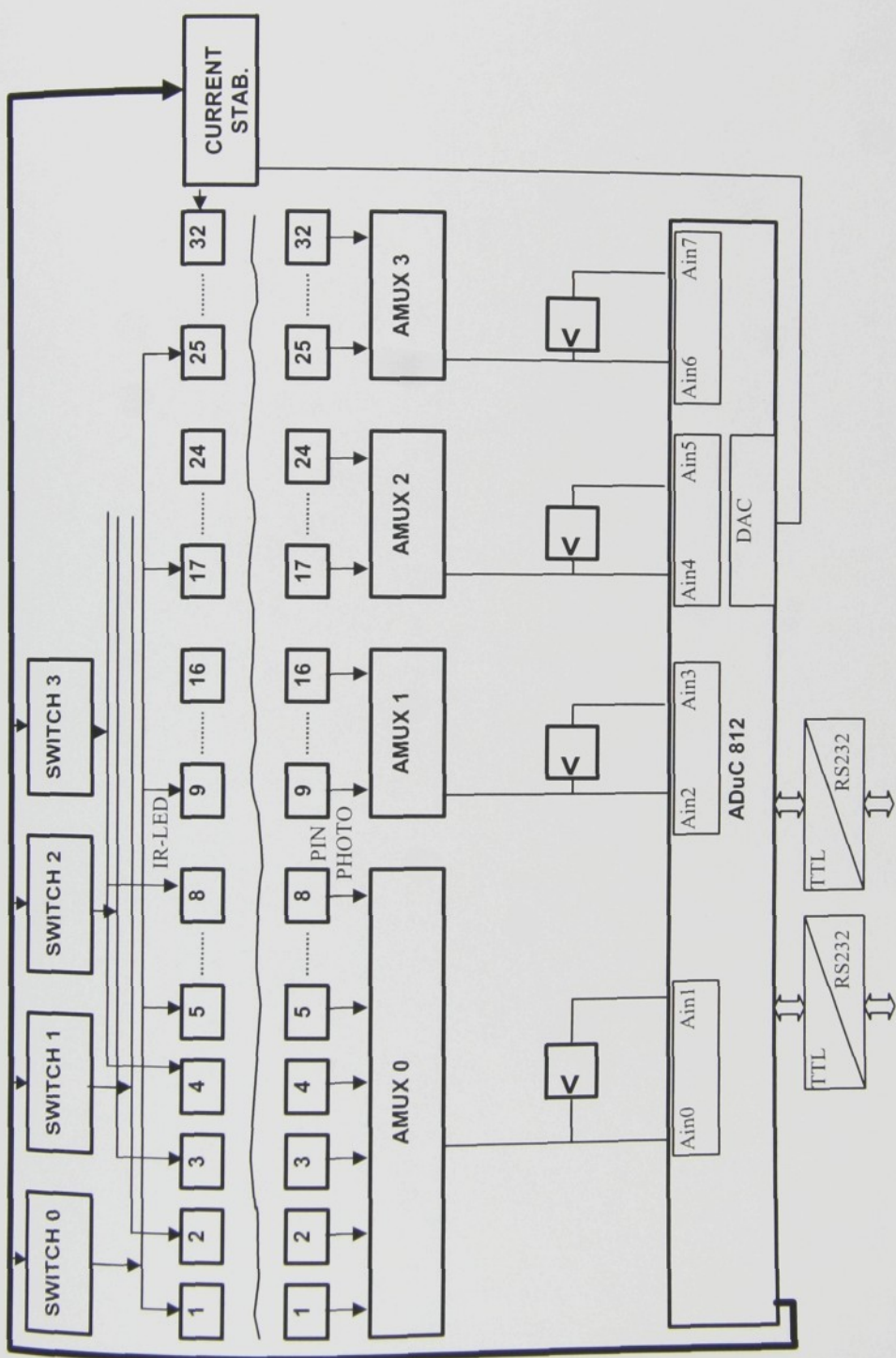
Měření destiček s clonkami

Clonka vysílač D1[mm]

4,00

| Clonka<br>přijímač<br>D2 [mm] | Poloha objektu (vzdálenost od přijímací diody) L[cm] |      |      |      |      |      |      |
|-------------------------------|--|------|------|------|------|------|------|
|                               | 0  | 1    | 2    | 3    | 4    | 5    | 6    |
| 1,6                           | 2267   | 2463 | 2691 | 3308 | 3686 | 3525 | 3149 |
|                               | 154  | 209  | 210  | 187  | 179  | 202  | 211  |
|                               | 2113   | 2254 | 2481 | 3121 | 3507 | 3323 | 2938 |
| 2,3                           | 2764   | 2962 | 3231 | 3790 | 4017 | 3798 | 3491 |
|                               | 140  | 228  | 259  | 263  | 297  | 276  | 246  |
|                               | 2624   | 2734 | 2972 | 3527 | 3720 | 3522 | 3245 |
| 3,2                           | 3039   | 3113 | 3307 | 3453 | 3295 | 2994 | 2672 |
|                               | 254  | 314  | 322  | 322  | 313  | 335  | 304  |
|                               | 2785   | 2799 | 2985 | 3131 | 2982 | 2659 | 2368 |
| 4                             | 3690   | 3860 | 3810 | 3688 | 3304 | 2815 | 2583 |
|                               | 374  | 644  | 599  | 522  | 473  | 440  | 482  |
|                               | 3316   | 3216 | 3211 | 3166 | 2831 | 2375 | 2101 |





Blokové schéma elektroniky optického snímání plošné hustoty rouna